

МИНОБРНАУКИ РОССИИ
Федеральное государственное бюджетное образовательное учреждение
высшего образования

**«САРАТОВСКИЙ НАЦИОНАЛЬНЫЙ ИССЛЕДОВАТЕЛЬСКИЙ
ГОСУДАРСТВЕННЫЙ УНИВЕРСИТЕТ
ИМЕНИ Н. Г. ЧЕРНЫШЕВСКОГО»**

Кафедра математической кибернетики и компьютерных наук

**РЕАЛИЗАЦИЯ И СРАВНЕНИЕ АЛГОРИТМОВ АВТОМАТИЧЕСКОЙ
СБОРКИ ПАЗЛОВ**

КУРСОВАЯ РАБОТА

студента 3 курса 351 группы
направления 09.03.04 — Программная инженерия
факультета КНиИТ
Синкевича Артема Александровича

Научный руководитель
доцент, к. ф.-м. н.

А. С. Иванова

Заведующий кафедрой
к. ф.-м. н., доцент

С. В. Миронов

Саратов 2022

СОДЕРЖАНИЕ

ВВЕДЕНИЕ	3
1 Задача сборки пазлов и методы её решения	5
1.1 Методы сравнения деталей	7
1.1.1 Метод SSD	8
1.1.2 Метод MGC	9
1.2 Алгоритмы сборки	11
1.2.1 Генетический алгоритм	11
1.2.2 Алгоритм циклических ограничений	16
1.3 Сравнение алгоритмов	21
1.3.1 Методы оценки результатов	21
1.3.2 Наборы изображений	22
1.3.3 Определение параметров генетического алгоритма	22
1.3.4 Сравнение всех алгоритмов	27
2 Детали реализации	30
2.1 Библиотека	31
2.2 Приложение	31
2.3 Интерфейс	33
ЗАКЛЮЧЕНИЕ	36
СПИСОК ИСПОЛЬЗОВАННЫХ ИСТОЧНИКОВ	37
Приложение А Программный код метода сравнения деталей SSD	40
Приложение Б Программный код метода сравнения деталей MGC	42
Приложение В Программный код генетического алгоритма	48
Приложение Г Программный код алгоритма циклических ограничений	68

ВВЕДЕНИЕ

На протяжении сотен лет людей развлекала задача сборки целостной картины из кусочков пазла. Можно предположить, что те же самые стратегии, которые сегодня используются людьми для решения этой головоломки, использовались для сборки тех первых пазлов, которые создал британский картограф Джон Спилсбери в 18-м веке, и полагались на форму и текстуру деталей головоломки. Проблемы сборки пазлов длительное время вызывают интеллектуальный интерес людей, а также являются жизненно важными задачами в таких областях, как археология [1]. Наиболее значительными материальными свидетельствами многочисленных обществ прошлого являются горшки, которые они оставили после себя, но иногда значимая историческая информация доступна только тогда, когда первоначальная форма реконструирована из разрозненных частей. Компьютерные программы решения пазлов помогают исследователям не только восстанавливать горшки из их фрагментов [2], но и реконструировать измельчённые документы или фотографии [3; 4]. Автоматическая сборка пазлов также может оказаться полезной в компьютерной криминалистике для работы с удалёнными или переставленными блочными данными изображения (например, формата JPEG), которые трудно распознать и систематизировать [5; 6]. Программы сборки пазлов также используются при создании и обработке изображений, позволяя плавно переставлять сцены с сохранением исходного содержания [7]. Чжао и др. [8] показали, что пазлы также связаны с восстановлением речи, в записи которой были переставлены части.

В литературе представлены разные варианты задачи сборки пазлов и алгоритмы её решения: использующие форму фрагментов, цветовые данные или и то, и другое. В данной работе, как и в недавних статьях по этой теме, рассматривается задача сборки прямоугольных изображений из квадратных деталей с цветовыми данными, для которых известна ориентация в пространстве.

Целью данной работы является изучение различных алгоритмов автоматической сборки пазлов и сравнение их друг с другом по критериям времени работы и точности сборки.

В результате написания работы должны быть решены следующие задачи:

- реализация различных методов сравнения деталей;
- изучение и реализация выбранных алгоритмов сборки пазлов;
- создание приложения с графическим интерфейсом для выполнения и визуализации результатов работы алгоритмов;
- изучение методов оценки результатов;
- сравнение реализованных алгоритмов, использующих выбранные методы сравнения деталей, по различным критериям.

1 Задача сборки пазлов и методы её решения

Вычислительная задача сборки пазла была впервые представлена почти шестьдесят лет назад в фундаментальной работе Фримана и Гарднера [9]. Как и в случае с материальной головоломкой, вычислительная задача состоит в том, чтобы соединить несколько более мелких частей пазла и сформировать полное изображение. В литературе представлено множество решений этой задачи. Вслед за Фриманом и др. [9] в нескольких ранних работах исследуются аспекты использования информации о форме кусочков пазла и сопоставления контуров для поиска подходящих деталей. Например, в [10] хорошо известная человеческая стратегия сборки сначала краёв изображения используется путём идентификации краевых частей с помощью информации о форме, а затем представления сборки границ пазла как задачи коммивояжёра. Для пазлов с квадратными частями в работе [11] предложено решение, использующее Марковские случайные поля, но соблюдение глобальных ограничений (например, что каждая деталь должна использоваться только один раз) оказывается трудным. Померанц и др. [12] продемонстрировали улучшенную производительность с помощью жадного алгоритма, который сегментирует частичное решение («выращивая» одну компоненту), а затем сдвигает собранные части в поисках лучшего соответствия. Сложные решения (во время создания компонент) неизбежно принимаются раньше, чем это абсолютно необходимо. Оба вышеупомянутых решения предполагают, что известны ориентация деталей и размеры собранного пазла.

Демейн и Демейн [13] показали, что при наличии неоднозначности в определении совместимости деталей пазла сборка головоломки представляет собой NP-трудную задачу. Следовательно, нельзя определить глобальную функцию, которую можно эффективно оптимизировать. Другими словами, существует слишком много способов, которыми можно собрать кусочки пазла, чтобы оценить их все. Вместо этого исследователи предложили множество стратегий сборки, в том числе жадный выбор деталей пазла, идентификацию и сборку краёв, а также Марковские случайные поля.

Косиба и др. [14] были первыми, кто использовал как форму фрагментов пазла, так и цветовую информацию изображения, так как их алгоритм пытается создавать решения, в которых соседние детали имеют схожие цвета за счёт вычисления цветовой совместимости вдоль совпадающего контура.

Чанг и др. последовали за ними, используя в качестве «штрафа» квадраты несоответствий цвета по границе, а позже в [11; 15] эта мера несовместимости (в цветовом пространстве LAB) утверждается как хороший выбор среди возможных вариантов. Другие работы, в которых рассматривается цвет деталей [16–20], используют небольшие вариации этой меры несходства. Из этих работ выделяется [16], где соприкасающиеся профили двух деталей пазла сопоставляются с динамическим искажением времени, [19], где используется закрашивание из статьи [21] для дорисовывания содержимого через границу фрагмента, и [12], где мера совместимости основана на предсказывании значений за границей детали.

В нескольких недавних работах [11; 12; 15; 16] исследовались пазлы с квадратными деталями. В них было несколько неявных предположений, во-первых, что размеры головоломки известны. В [11] опорные детали (с известным корректным расположением) необязательны, но желательны для получения качественных результатов, а в [15] требуется одна опорная деталь. В этих предыдущих работах предполагается, что ориентация каждого фрагмента пазла известна, и неизвестно только расположение каждой части в пазле. Следовательно, пара деталей головоломки может соединиться только четырьмя различными способами. Галлагер в статье [22] назвал это «типом 1» задачи сборки пазла с квадратными элементами, а также ввёл «тип 2» и «тип 3»: в задаче типа 2 неизвестны ни расположение, ни ориентация какой-либо детали, а в типе 3 известно положение, но неизвестна ориентация деталей.

В задаче типа 3 возможно 4^N решений, где N — количество деталей. Задача состоит в том, чтобы определить, какая из четырёх возможных ориентаций каждой детали является правильной. Хотя эта задача является наименее сложной в вычислительном отношении из трёх основных типов, она приводит к элегантному решению с применением Марковских случайных полей в работе [22].

В задаче типа 2 неизвестно ни расположение, ни ориентация какой-либо части. Это усложняет задачу несколькими путями. Во-первых, пара деталей может сочетаться в любой из 16 конфигураций (вторая деталь может быть выше, слева, справа или под первой деталью, а также она может иметь любую из четырёх ориентаций). Количество возможных решений по сравнению с типом 1 (для которого возможно $N!$ решений, то есть все перестановки дета-

лей) увеличивается в 4^N раз. Во-вторых, алгоритм сборки должен учитывать как вращение, так и перемещение деталей или компонент. В-третьих, размеры прямоугольного пазла менее полезны, потому что неизвестно, должен ли находиться собранный пазл в портретной или альбомной ориентации. В более поздних статьях, таких как [23] и [24] исследуются решения именно второго типа задачи, а первый рассматривается только как частный случай.

Также в [23] были введены типы 4, 5, 6, 7: в них пазл состоит из двух изображений с разных сторон, и алгоритму дополнительно требуется определить для каждой детали её лицевую сторону. В задаче типа 7 это единственное требование, а №4, 5, 6 соответствуют расширениям типов 2, 1, 3. Таким образом количество возможных решений увеличивается в 2^N раз, а количество возможных сочетаний двух деталей — до 64 в случае задачи типа 4.

Во всех решениях задачи автоматической сборки пазлов (по цветовым данным деталей) есть две важные части: мера совместимости частей пазла при их соединении в пару и стратегия сборки головоломки. Далее будут рассмотрены возможные решения каждой из частей задачи типа 1.

1.1 Методы сравнения деталей

В работе [11] представлены несколько мер сравнения деталей:

- На основе бустинг-классификатора: для каждой детали из отобранных для обучения пар выбирались граничные двухпиксельные полосы, вычислялась сумма квадратов разностей для соответствующих полос в изображениях, и на этих данных обучался бустинг-классификатор;
- На основе набора деталей: вычисляется как минимальное расстояние (сумма квадратов разностей цветов пикселей) между деталью, полученной вырезанием центра из соединения двух сравниваемых деталей, и всеми другими деталями из набора;
- На основе статистики изображений: вычисляется свёртка изображения детали, полученной вырезанием центра из соединения двух сравниваемых деталей, с помощью фильтров из статьи [25], и определяется совместимость деталей по степени отклика на границе деталей.

Выяснилось, что эти алгоритмы оказываются значительно менее точными, чем более простой метод «несходства», описанный далее.

1.1.1 Метод SSD

Мера совместимости SSD (Sum of Squared Differences, сумма квадратов разностей) основывается на предположении, что соседние детали пазла в исходном изображении, как правило, имеют схожие цвета вдоль их соприкасающихся краёв, то есть сумма (по всем соседним пикселям) квадратов разностей цветов (по всем цветовым каналам) должна быть минимальной. Пусть изображения деталей x_i, x_j представлены в цветовом пространстве $L^*a^*b^*$ матрицей $K \times K \times 3$, где K — ширина/высота детали (в пикселях), то их несовместимость $C_{LR}(x_i, x_j)$ при условии, что x_j находится справа от x_i равна

$$C_{LR}(x_i, x_j) = \sqrt{\sum_{k=1}^K \sum_{c=1}^3 (x_i(k, K, c) - x_j(k, 1, c))^2}, \quad (1)$$

где $x_i(n, m, c)$ — значение цветового канала c пикселя в строке n и столбце m детали x_i . Аналогично определяется и случай, когда деталь x_i находится над x_j :

$$C_{UD}(x_i, x_j) = \sqrt{\sum_{k=1}^K \sum_{c=1}^3 (x_i(K, k, c) - x_j(1, k, c))^2}, \quad (2)$$

При решении задачи типа 1 случаи, когда x_j находится слева или снизу от x_i рассматривать не требуется, так как они эквивалентны ситуациям, когда x_i находится справа или сверху от x_j .

По формулам 1, 2 можно видеть, что используется только последний столбец/строка детали x_i и первый столбец/строка детали x_j , и поэтому асимптотика времени вычисления для одной пары деталей — $O(K)$, для всех пар — $O(N^2K)$, где N — количество деталей.

В этом методе, как и в методе MGC, используется цветовое пространство LAB ($L^*a^*b^*$) вместо распространённого RGB, так как первое, в отличие от второго, учитывает восприятие цвета человеком, и расстояние между цветами в нём (Евклидово между векторами компонентов) более равномерно [26].

В приложении А приведена реализация функции, вычисляющей по заданному изображению, его размерам и ширине/высоте детали в пикселях SSD-несовместимость в цветовом пространстве $L^*a^*b^*$ для каждой пары деталей. Так как результат для одной пары не зависит от результата для другой, то вычисления проводятся параллельно.

1.1.2 Метод MGC

В работе [22] была предложена мера MGC (Mahalanobis Gradient Compatibility, совместимость градиентов Махаланобиса), которая описывает локальные градиенты на границе деталей пазла и имеет два улучшения по сравнению со мерой совместимости SSD. Во-первых, «штрафуются» изменения градиентов интенсивности цветов, а не изменения самой интенсивности. Другими словами, если у детали пазла есть градиент вблизи края, то ожидается, что соседняя деталь продолжит градиент. Во-вторых, вместо того, чтобы равномерно штрафовать все отклонения от постоянного градиента (то есть с помощью евклидова расстояния), вычисляется ковариация между цветовыми каналами и после этого используется расстояние Махаланобиса. Таким образом, детали пазла смежны по методу MGC, если градиент на границе деталей близок к градиентам (внутри деталей) по обе стороны от границы.

Пусть изображения деталей x_i, x_j определены так же, как и в предыдущем разделе, и x_j находится справа от x_i , тогда при вычислении несовместимости $C_{LR}(x_i, x_j)$ сначала требуется найти распределение цветовых градиентов вблизи правого края детали x_i . Пусть G_L — массив градиентов с 3 столбцами (по одному для каждого цветового канала) и K строками (где K — размер детали в пикселях). G_L описывает изменение интенсивности вдоль правого края x_i (поскольку эта деталь находится слева) и вычисляется как

$$G_L(k, c) = x_i(k, K, c) - x_i(k, K - 1, c) \quad (3)$$

Аналогично определяется G_R для левого края детали x_j :

$$G_R(k, c) = x_j(k, 1, c) - x_j(k, 2, c) \quad (4)$$

Среднее распределение этих градиентов по каждому цветовому каналу с правой стороны детали x_i находится как

$$\mu_L(c) = \frac{1}{K} \sum_{k=1}^K G_L(k, c) \quad (5)$$

И для левой стороны детали x_j :

$$\mu_R(c) = \frac{1}{K} \sum_{k=1}^K G_R(k, c) \quad (6)$$

Для каждого цветового канала μ_L представляет собой среднюю разницу между последними двумя столбцами x_i . Далее по G_L строится матрица ковариаций S_L (и S_R по G_R) размера 3×3 , которая фиксирует взаимосвязь между градиентами цветовых каналов вблизи края детали. Для численной стабильности инвертирования матрицы к диагональным элементам добавляется $EPS = 10^{-6}$. Кроме того, вычисляется градиент из правой части x_i в левую часть x_j :

$$G_{LR}(k, c) = x_j(k, 1, c) - x_i(k, K, c) \quad (7)$$

И градиент в противоположную сторону:

$$G_{RL}(k, c) = -G_{LR}(k, c) \quad (8)$$

Далее можно определить односторонние несовместимости деталей (использующие только градиенты внутри одной детали и градиент между деталями):

$$D_{LR}(x_i, x_j) = \sqrt{\sum_{k=1}^K (G_{LR}(k) - \mu_L) S_L^{-1} (G_{LR}(k) - \mu_L)^T} \quad (9)$$

$$D_{RL}(x_i, x_j) = \sqrt{\sum_{k=1}^K (G_{RL}(k) - \mu_R) S_R^{-1} (G_{RL}(k) - \mu_R)^T} \quad (10)$$

С помощью которых вычисляется симметричная мера несовместимости:

$$C_{LR}(x_i, x_j) = D_{LR}(x_i, x_j) + D_{RL}(x_i, x_j) \quad (11)$$

Аналогично составляются формулы для случая, когда x_j находится снизу от x_i .

Из приведённых выше формул следует, что используются только два последних столбца/строки детали x_i и два первых столбца/строки детали x_j , и поэтому асимптотика времени вычисления для одной пары деталей — $O(K)$,

для всех пар — $O(N^2K)$, то есть такая же, как и у метода SSD, но со значительно большим константным множителем из-за необходимости вычисления ковариационной матрицы и прочих значений.

В приложении **Б** приведена реализация функции, вычисляющей по заданному изображению, его размерам и ширине/высоте детали в пикселях MGC-несовместимость в цветовом пространстве $L^*a^*b^*$ для каждой пары деталей. Так как результат для одной пары не зависит от результата для другой, то вычисления проводятся параллельно. Также было оптимизировано вычисление матрицы ковариаций за счёт её симметричности, и обратной к ней матрицы с помощью упрощения явной формулы её нахождения.

1.2 Алгоритмы сборки

1.2.1 Генетический алгоритм

Большинство из упомянутых в разделе **1** алгоритмов являются жадными и, таким образом, подвержены большому риску схождения к локальным оптимумам. Несмотря на большой потенциал применения генетического алгоритма, успех предыдущих попыток был ограничен пазлами из 64 деталей [27], скорее всего, из-за большой сложности эволюционных вычислений в целом и трудности разработки эффективного оператора скрещивания для этой задачи в частности. Но в статье [28] был представлен генетический алгоритм, являющийся одним из лучших для решения поставленной задачи на данный момент.

Для генетического алгоритма требуется ввести несколько определений и уточнить их для данной задачи:

- Особь — одно из решений задачи.
- Популяция — набор особей, представляющих собой одно поколение [29].
- Поколение — один этап выполнения генетического алгоритма.
- Хромосома — информация, определяющая особь, в данной задаче — матрица $n \times m$ (n и m — количество строк и столбцов в изображении, разбитом на детали), состоящая из пар строк и столбцов, задающих детали пазла. Таким образом, хромосома однозначно определяет решение.
- Функция приспособленности (fitness function) — оценка решения задачи данной хромосомой. Для задачи сборки пазлов используется функция на основе одного из методов сравнения деталей. Пусть $C_d(x_i, x_j)$ — несов-

местимость деталей x_i и x_j при сопоставлении в направлении d , $x_{i,j}$ — матрица-хромосома размера $n \times m$, тогда непри приспособленность особи с этой хромосомой равна

$$\sum_{i=1}^n \sum_{j=1}^{m-1} C_{LR}(x_{i,j}, x_{i,j+1}) + \sum_{i=1}^{n-1} \sum_{j=1}^m C_{UD}(x_{i,j}, x_{i+1,j}), \quad (12)$$

таким образом, вычисляется сумма несовместимостей по всем границам смежных деталей. Для ускорения вычисления функции приспособленности предварительно рассчитываются несовместимости всех пар деталей пазла.

Алгоритм состоит из нескольких этапов:

1. Создание начальной популяции;
2. Создание новых поколений, пока не выполнено условие остановки:
 - а) Отбор лучших особей в новое поколение («элитарность»);
 - б) Отбор пар особей из текущего поколения;
 - в) Скрещивание этих пар и составление нового поколения.

Начальная популяция генерируется как необходимое количество случайных перестановок. В качестве критерия остановки выбрано достижение заданного количества поколений. При создании нового поколения в него сразу копируются $ELITISM_COUNT = 4$ особей, определённых как лучшие с помощью функции приспособленности. Размер популяции и количество поколений в приложении, созданном для данной работы, выбирается пользователем перед запуском алгоритма.

Как и в статье [28], в этой работе используется «метод рулетки» для выбора родителей для скрещивания, но модифицированный из-за необходимости назначать меньшую вероятность выбора особям с большим значением функции непри приспособленности, а также предотвращения схождения к одной хромосоме. Пусть P — размер популяции, f_i — значение функции непри приспособленности для i -й особи, тогда F_i — её преобразованное значение и p_i — вероятность выбора i -й особи:

$$F_i = 0.95 + 0.9 \frac{\min_{j=1, \dots, P} f_j - f_i}{\max_{j=1, \dots, P} f_j - \min_{j=1, \dots, P} f_j}, p_i = \frac{F_i}{\sum_{j=1}^P F_j} \quad (13)$$

При создании нового поколения выбирается столько же пар, сколько особей

в текущем поколении, за вычетом количества уже отобранных, при этом каждая особь в паре выбирается случайно среди всех в текущем поколении с помощью вероятностей p_i . Затем из каждой пары получается новая особь с помощью оператора скрещивания.

Наиболее сложной частью генетического алгоритма является оператор скрещивания (кроссовера). Простая реализация может создавать новую дочернюю хромосому случайным образом так, что каждый элемент результирующей матрицы будет соответствующим элементом первого или второго родителя. Этот подход обычно создаёт хромосомы с дубликатами и/или отсутствующими деталями пазла, что, конечно же, является неправильным решением задачи. Трудность, присущая оператору кроссовера, вполне могла сыграть решающую роль в задержке разработки решения, основанного на методах эволюционных вычислений.

Скрещивание применяется к двум хромосомам, выбранным из-за их высоких значений функции приспособленности, причём эта функция является мерой попарной совместимости всех соседних деталей пазла. В лучшем случае она вознаграждает за правильное размещение соседних деталей рядом друг с другом, но не имеет возможности определить правильное расположение детали. Поскольку первое поколение состоит из случайных хромосом, а каждое следующее постепенно улучшается, разумно предположить, что некоторые правильно собранные компоненты пазла появляются на протяжении поколений. Принимая во внимание неспособность функции приспособленности вознаградить правильную позицию, ожидается, что такие компоненты, скорее всего, появятся в неправильных местах. Оператор кроссовера должен передавать «хорошие черты» от родителей к ребёнку, тем самым создавая, возможно, лучшее решение. Обнаружение правильной компоненты не является тривиальным; её следует рассматривать как хорошую черту, которую нужно использовать и передавать следующим поколениям. Таким образом, оператор скрещивания должен допускать независимость от позиции, то есть возможность сдвигать целые правильно собранные компоненты в попытке правильно разместить их в дочерней хромосоме.

Также оператор скрещивания должен уметь обнаруживать правильно собранные компоненты, которые, возможно, находятся не на своём месте. Какая компонента должна быть передана потомству? Случайный подход может по-

казаться привлекательным, но он может оказаться непрактичным из-за огромного размера пространства решений задачи. Возможно применение эвристик для того, чтобы отличить правильные компоненты от неправильных.

Таким образом, хороший оператор скрещивания должен создавать корректные дочерние хромосомы, решать вопросы обнаружения предположительно правильно собранных компонент пазла у родителей и независимости положения этих компонент при передаче потомству.

В [28] предлагается оператор кроссовера, решающий описанные проблемы. Пусть имеются две родительские хромосомы, то есть два различных полных расположения всех деталей пазла, тогда оператор конструирует дочернюю хромосому, постепенно «наращивая» ядро, используя обоих родителей в качестве «консультантов». Оператор начинает с одной детали и постепенно присоединяет другие к доступным границам ядра. Новые фрагменты могут быть соединены только с уже установленными, поэтому возникающее изображение всегда будет непрерывным. Детали добавляются из множества доступных до тех пор, пока не останется ни одной свободной. Следовательно, каждая деталь будет появляться ровно один раз в результирующей хромосоме. Поскольку размер изображения известен заранее, оператор скрещивания может убедиться, что нет выхода за границы. Таким образом гарантируется получение корректного изображения.

Ключевым свойством метода «выращивания» ядра является то, что конечное местоположение каждой детали определяется только после того, как ядро достигнет своего окончательного размера и дочерняя хромосома будет завершена. До этого все фрагменты могут сдвигаться в зависимости от направления роста ядра. Первая деталь, например, может оказаться в нижнем левом углу изображения, если ядро будет расти только вверх и вправо. С другой стороны, та же самая деталь может в конечном итоге быть помещена в центр изображения, в его правый верхний угол или в любое другое место. Именно это важное свойство обеспечивает независимость компонент изображения от позиции. А именно, правильно собранная компонента пазла в родительской хромосоме, возможно, смещённая по отношению к её истинному местоположению, может быть скопирована во время скрещивания, сохраняя свою структуру, на правильное место в потомстве.

В описанном методе нужно уметь определять, какую деталь выбрать

из множества доступных, и где её разместить. Имея ядро (частичное изображение), можно определить все границы, у которых может быть размещена новая деталь. Граница детали обозначается парой (x_i, d) , состоящей из детали и направления. Оператор скрещивания состоит из трёх этапов. Во-первых, проверяется, существует ли такая граница, с которой согласны оба родителя, то есть существует ли деталь x_j , которая находится в направлении d от x_i в обоих родителях. Если это так, то x_j добавляется в ядро в соответствующем месте. Если родители соглашаются о двух и более границах, то случайным образом выбирается одна из них. Очевидно, что если деталь уже используется, её нельзя повторно назначить, и поэтому она игнорируется, как будто родители не согласны с этой границей.

Если между родителями нет согласия ни по одной детали на какой-либо границе, начинается вторая фаза, использующая концепцию «лучших приятелей», впервые введённую в работе [12]. Две детали считаются лучшими приятелями, если каждая деталь считает другую наиболее совместимой с ней. Таким образом, x_i и x_j — лучшие приятели, если

$$\forall x_k : C_{d_1}(x_i, x_j) \leq C_{d_1}(x_i, x_k) \quad (14)$$

и

$$\forall x_l : C_{d_2}(x_i, x_j) \leq C_{d_2}(x_i, x_l), \quad (15)$$

где $C_d(x_i, x_j)$ — несовместимость деталей x_i и x_j при сопоставлении в направлении d , а d_1 и d_2 — противоположные направления (например, право и лево). На втором этапе оператор проверяет, содержит ли один из родителей деталь x_j в направлении d от x_i , которая также является лучшим приятелем x_i (учитывая направление). Если это так, то деталь выбирается и назначается. Как и прежде, если доступно несколько деталей-лучших приятелей, то одна из них выбирается случайно. Если найдена деталь, которая уже размещена, она игнорируется, и продолжается поиск других подходящих. Если детали с лучшим приятелем не существует, оператор переходит к заключительной третьей фазе, где выбирается случайная граница, и ей назначается наиболее совместимая доступная деталь. Также вводятся мутации: оператор с малой вероятностью во время первой и последней фазы помещает случайную доступную деталь вместо выбранной на этом этапе. В реализации были выбраны вероятности

$MUTATION_RATE_1 = 0.001$ и $MUTATION_RATE_3 = 0.005$ для первой и третьей фазы соответственно.

В приложении **В** приведена оптимизированная реализация генетического алгоритма, вызываемая с помощью функции `algorithm_step`, создающей очередное поколение для изображения по уже вычисленным несовместимостям деталей, «лучшим приятелям» и текущему поколению. Так как результат скрещивания двух хромосом не зависит от других, то вычисления производятся параллельно. Перед выполнением алгоритма для изображения должны быть найдены лучшие приятели с помощью функции `find_best_buddies`. Главная из приведённых функций — `chromosomes_crossover`, скрещивающая две хромосомы. Функция реализует алгоритм, описанный выше, но при этом сохраняются позиции, подходящие для каждой фазы и детали, которые возможно установить, а также позиции, не соответствующие фазам. На каждом шаге проверяются ещё не обработанные позиции и те, которые необходимо перепроверить из-за размещения деталей рядом с ними. Так как многие позиции не перепроверяются каждый раз, то этот подход позволяет в большинстве случаев уменьшить время работы функции.

1.2.2 Алгоритм циклических ограничений

В статье [24] представлен алгоритм, ключевая идея которого отличается от предыдущих стратегий и состоит в том, чтобы явно найти все «маленькие циклы» и сгруппировать их в «циклы из циклов» более высокого порядка, поэтапно увеличивая их размер. В этом методе циклы из деталей пазла, в частности циклы из 4 элементов, используются как способ обнаружения выбросов, тогда как предыдущие алгоритмы стараются избегать их, как, например, алгоритм из работы Галлагера [22], в котором конструируются свободные от циклов деревья из деталей пазла. Во время восходящей сборки некоторые из обнаруженных маленьких циклов могут оказаться ложными. Затем алгоритм переходит к этапу нисходящей сборки, в котором неиспользованные компоненты из циклов объединяются с доминирующими компонентами при отсутствии геометрического конфликта. В противном случае компоненты разбиваются на подциклы, и снова предпринимаются попытки слияния с меньшими циклами. Если циклы из 4 деталей всё ещё конфликтуют с доминирующими компонентами, они удаляются, так как считаются выбросами.

Цикл из деталей пар-кандидатов (то есть деталей, считающихся доста-

точно совместимыми) указывает на консенсус среди нескольких попарных совместимостей. Хотя легко найти 4 детали, которые соединяются в цепочку через три их границы с низкой ошибкой, маловероятно, что четвёртый край, завершающий цикл, также окажется случайно среди пар-кандидатов. На самом деле, чтобы построить маленький цикл, который не состоит из правильных сочетаний, по крайней мере две пары деталей в нём должны быть неправильными. Хотя некоторые маленькие циклы будут содержать неправильные пары, из которых, тем не менее, составляются циклы, вероятность этого уменьшается по мере сборки циклов всё более высокого порядка. Таким образом маленький цикл размерности 3, построенный из 4 маленьких циклов размерности 2, отражает консенсус среди многих пар деталей.

Термин «маленький цикл» используется, чтобы подчеркнуть, что описываемый метод фокусируется на максимально коротких циклах деталей на каждом этапе — циклах длины 4. Можно было бы рассматривать более длинные циклы, но в этом алгоритме используются только маленькие, потому что более длинные циклы с меньшей вероятностью будут полностью состоять из правильных пар деталей, и пространство возможных циклов увеличивается экспоненциально с длиной цикла. Хотя возможно перечислить все циклы длины 4 из пар-кандидатов в пазле, это намного труднее для более длинных циклов. Этот алгоритм постепенно переходит от неточных пар-кандидатов к значительно более точным циклам высших порядков, и крупные циклы уже обнаруживаются путём нахождения совместимых групп маленьких циклов.

Перед сборкой циклов нужно рассмотреть метрику попарной несовместимости деталей и стратегию поиска сочетающихся пар-кандидатов. Возможно использовать как метод SSD, так и MGC; необходимо вычислить несовместимости для всех пар деталей и всех ориентаций пар. Абсолютные расстояния между потенциальными подходящими деталями не сопоставимы (например, детали изображения неба всегда будут иметь меньшую несовместимость), поэтому вместо них используются коэффициенты несходства, как и в [22]. Для каждого края каждой детали все несовместимости делятся на наименьшую несовместимость с этой деталью в этом направлении. Сочетания деталей с коэффициентом менее $CANDIDATE_MATCH_RATIO = 1.15$ считаются парами-кандидатами для дальнейшего рассмотрения. Для эффективности вычислений максимальное количество пар-кандидатов, которые

может составить одна деталь в одном направлении, ограничивается константой $MAX_CANDIDATES = 10$. Также для предотвращения создания большого количества маленьких циклов из одинаковых деталей (например, полностью белых или чёрных), которые определяются коэффициентом $CANDIDATE_MATCH_RATIO_EQUAL = 1.0001$, также ограничивается их количество значением $MAX_CANDIDATES_EQUAL = 7$. Из пар-кандидатов, созданных в разных направлениях от деталей (например, влево и вправо), создаются такие пары, в которых и первая деталь считает вторую кандидатом, и наоборот, с помощью пересечения соответствующих множеств.

В алгоритме циклических ограничений для представления и маленьких циклов, и групп деталей, и итогового решения используются двумерные матрицы, состоящие из пар строк и столбцов, задающих детали пазла. Для таких матриц определяется совместимость: если матрицы U и V имеют как минимум две общие детали, то они выравниваются по одной из них. Если нет геометрического конфликта, такого как наложение разных деталей или повторение деталей вне области пересечения, то U и V геометрически согласованы, что обозначается как $U \sim V$. В противном случае геометрическое несоответствие матриц обозначается как $U \perp V$. Если $U \sim V$, то возможно объединение двух матриц $U \oplus V$. Если в матрицах меньше двух общих деталей, то считается, что они не связаны друг с другом, и они обозначаются как $U || V$.

Первый этап алгоритма заключается в нахождении маленьких циклов. Пары-кандидаты (матрицы размеров 1×2 и 2×1) обозначаются как маленькие циклы первого порядка. Также формируются маленькие циклы порядка 2 с размерами 2×2 , каждый из четырёх пар-кандидатов. Как только все циклы определённого порядка обнаружены, из четвёрок циклов собираются циклы следующего порядка, если расположение деталей геометрически согласовано среди всех маленьких циклов более низкого порядка. Таким образом алгоритм итеративно строит маленькие циклы порядка i путем сборки из циклов порядка $i - 1$. Процедура продолжается до тех пор, пока не удастся создать ни один цикл некоторого порядка $M + 1$.

Описывая алгоритм более формально, можно определить множество деталей пазла $\Omega_1 = \{\omega_{1,1}, \omega_{1,2}, \dots, \omega_{1,N}\}$, где N — количество всех деталей, а также множество пар-кандидатов как разреженную трёхмерную матрицу M_1

размера $N \times N \times 2$, где $M_1(x_i, x_j, d) = 1$ означает, что детали x_i и x_j считаются совместимыми в направлении d (горизонтальное или вертикальное). Также, как и создаются маленькие циклы второго порядка Ω_2 с помощью M_1 из четырёх деталей, возможно определить построение циклов $(i + 1)$ -го порядка из циклов i -го. Пусть $\Omega_i = \{\omega_{i,1}, \omega_{i,2}, \dots, \omega_{i,N_i}\}$ — множество маленьких циклов порядка i , где N_i — их количество, тогда по ним вычисляется матрица совместимости M_i размера $N_i \times N_i \times 2$. Циклы $\omega_{i,x}$ и $\omega_{i,y}$ считаются совместимыми, если они геометрически согласованы ($\omega_{i,x} \sim \omega_{i,y}$), то есть корректно пересекаются в области размера $i \times (i - 1)$ (горизонтально) или $(i - 1) \times i$ (вертикально), и при объединении циклов вне области пересечения не возникает повторяющихся деталей. Из элементов Ω_i создаётся цикл порядка $i + 1$ (матрица размера $(i + 1) \times (i + 1)$), если все смежные подциклы совместимы в соответствии с M_i . Все найденные циклы составляют множество Ω_{i+1} . Если оно окажется пустым, то i — высший порядок маленьких циклов.

На втором этапе алгоритм работает с маленькими циклами по убыванию их порядка и последовательно объединяет всё меньшие оставшиеся циклы, не применяя циклические ограничения. Для слияния достаточно двух геометрически согласованных матриц. Если маленький цикл геометрически конфликтует с более крупной матрицей, цикл разбивается на составляющие подциклы более низкого порядка. Если два маленьких цикла одинаковой размерности конфликтуют, то используется цикл с меньшим средним значением несовместимости по всем смежным деталям в нём. Объединение не производится, если результирующая матрица больше пазла по какой-либо стороне или матрицы не связаны друг с другом. После всех слияний у матрицы-результата отрезаются почти пустые края и жадно заполняются пустые позиции.

Для более точного определения вводится функция объединения для двух матриц ω_x, ω_y :

$$f_m(\omega_x, \omega_y) = \begin{cases} \omega_x \oplus \omega_y, & \text{если } \omega_x \sim \omega_y \\ \omega_x, & \text{если } \omega_x \perp \omega_y \wedge f_p(\omega_x) \geq f_p(\omega_y) \\ \omega_y, & \text{если } \omega_x \perp \omega_y \wedge f_p(\omega_x) < f_p(\omega_y) \\ \omega_x, \omega_y, & \text{если } \omega_x || \omega_y \end{cases} \quad (16)$$

где f_p — функция приоритета матрицы:

$$\begin{cases} f_p(\omega_x) \geq f_p(\omega_y), & \text{если } |\omega_x| > |\omega_y| \\ f_p(\omega_x) \geq f_p(\omega_y), & \text{если } |\omega_x| = |\omega_y| \wedge \bar{\omega}_x < \bar{\omega}_y \\ f_p(\omega_x) < f_p(\omega_y), & \text{иначе} \end{cases} \quad (17)$$

где $|\omega|$ — количество непустых элементов в матрице ω , а $\bar{\omega}$ — среднее значение несовместимости по всем соседним деталям в матрице.

На данном этапе уже вычислены множества маленьких циклов $\{\Omega_1, \Omega_2, \dots, \Omega_M\}$. Из каждого Ω_i и Λ_{i+1} создаётся Λ_i , множество матриц-результатов объединений, итеративно для всех $i \in [1, M]$, по убыванию i . Изначально $\Lambda_i = \Lambda_{i+1} \cup \Omega_i$, затем выполняются объединения элементов Λ_i , пока это возможно: пусть $\omega_x, \omega_y \in \Lambda_i$ — такие матрицы, что $\omega_x \sim \omega_y$ или $\omega_x \perp \omega_y$, тогда эта пара заменяется на результат их объединения: $\Lambda_i = \Lambda_i \setminus \{\omega_x, \omega_y\}$, $\Lambda_i = \Lambda_i \cup \{f_m(\omega_x, \omega_y)\}$. При создании Λ_1 для объединения матриц достаточно одного, а не двух общих элементов, так как на этой итерации присоединяются неиспользованные пары-кандидаты. Из Λ_1 выбирается матрица с наибольшим приоритетом в качестве предварительного результата работы алгоритма.

Так как матрица, полученная на предыдущем этапе, может не соответствовать размеру изображения или иметь пропуски, то отрезаются выступающие края и заполняются пустые позиции. Для удаления выбираются строки или столбцы, которые содержат небольшую долю (не больше $TRIM_RATE = 0.1$) непустых позиций. Удаления происходят до тех пор, пока есть хотя бы одна подходящая строка или столбец. Затем жадно заполняются пропуски: для этого для каждой пустой позиции с наибольшим количеством деталей-соседей выбирается такая неиспользованная деталь, что её несовместимость с соседями минимальна.

В приложении **Г** приведена реализация алгоритма с циклическими ограничениями, вызываемая с помощью функции `algorithm_step`, создающей решение для изображения по уже вычисленным несовместимостям деталей и парам-кандидатам. Перед выполнением алгоритма для изображения должны быть найдены пары-кандидаты с помощью функции `find_match_candidates`. Алгоритм сначала вызывает функцию `small_loops`, которая находит все маленькие циклы, используя для этого функции `small_loops_matches` (опре-

деление совместимостей маленьких циклов) и `merge_loops` (объединение четырёх циклов в один более высокого порядка). При создании циклов и определении их совместимостей цикл выбора одного из элементов выполняется параллельно. Второй этап алгоритма реализован в виде функции `merge_matrices_groups`, объединяющей маленькие циклы. При выполнении поддерживается множество совместимых и несовместимых пар матриц, упорядоченное по приоритетам матриц. Так как при добавлении новой матрицы необходимо проверить её совместимость с остальными, и результаты для одной матрицы не зависят от другой, то цикл выполняется параллельно. В качестве вспомогательных используются функции `matrix_priority` (вычисление приоритета матрицы как пары из количества непустых позиций и среднего значения несовместимости деталей), `can_merge_matrices` (проверка матриц на возможность объединения — либо они совместимы, и для них вычисляется сдвиг между общими деталями и приоритет объединённой матрицы, либо не совместимы, либо не связаны друг с другом), `merge_matrices` (объединение матриц по известному сдвигу между ними). Для получения итогового решения к лучшей матрице применяются методы `trim` (отрезание почти пустых краёв) и `fill_greedy` (жадное заполнение почти пустых позиций).

1.3 Сравнение алгоритмов

1.3.1 Методы оценки результатов

В работе [11] были введены следующие две основные меры для оценки точности сборки пазла, неоднократно использованные в последующих работах: прямое сравнение, в котором измеряется доля деталей, расположенных в правильных позициях, и сравнение с соседями, в котором для каждой детали определяется доля правильных соседей (с которыми деталь имеет общую грань), и от этих значений вычисляется среднее. Прямой метод считается менее точным и менее содержательным из-за неадекватной оценки слегка сдвинутых решений [12]. Можно заметить, что собранный пазл, набравший 100% по одному из методов, является полной реконструкцией исходного изображения, и получает максимальную оценку по другому методу.

1.3.2 Наборы изображений

В литературе представлены несколько наборов изображений, ставших стандартными для тестирования алгоритмов автоматической сборки пазлов с квадратными деталями: 20 изображений, каждое из $N = 432$ деталей, из статьи [11], по 20 изображений с $N = 540$ и $N = 805$ и по 3 изображения с $N = 2360$ и $N = 3300$ из работы [12]. Количества деталей указаны из предположения о стандартном их размере: $K = 28$. Эти наборы достаточно разнообразны. Для некоторых изображений камера идеально выровнена по линии горизонта, а края изображения (например, границы зданий) точно совпадают с краями пазла. Некоторые детали содержат недостаточно информации (однородные области, такие как небо, вода и снег), а другие содержат повторяющиеся текстуры (искусственные поверхности и окна). В результате метрики попарной совместимости деталей возвращают много ложноположительных и ложноотрицательных результатов для этих изображений.

1.3.3 Определение параметров генетического алгоритма

Для работы генетического алгоритма сборки пазлов требуется найти значения нескольких параметров. Для некоторых, таких как количество хромосом, отбираемых непосредственно в следующее поколение, и вероятности мутаций на разных шагах алгоритма значения были подобраны, основываясь на величинах из работы [28]. Но для размера популяции и количества поколений было проведено сравнение на некоторых наборах изображений. Время выполнения алгоритмов измерялось для данной работы на системе с процессором Ryzen 5 4600H (4 ГГц) и ОС Linux (Manjaro 21.2.6). Для каждой конфигурации параметров алгоритма выполнялось 5 запусков с начальными значениями генератора случайных чисел от 1 до 5, и по всем данным выбиралось среднее.

На рисунках 1 (для $N = 432$) и 2 (для $N = 3300$) представлены средняя точность работы (прямое сравнение и по соседям) и среднее время выполнения по каждому изображению в наборе при разных размерах популяции. Для определения точности сборки выбиралось последнее поколение, использовался метод LAB SSD, было зафиксировано количество поколений: $G = 100$. Размеры популяции выбирались из множества $P \in \{10, 30, 100, 300, 1000\}$. При выполнении использовались все доступные потоки процессора (12). По графикам видно, что с увеличением популяции качество улучшается всё меньше,

а время работы значительно растёт. Таким образом, чтобы сохранить разумное время выполнения и качество, для дальнейшего рассмотрения были выбраны значения $P_1 = 100$ и $P_2 = 300$.

Аналогично на рисунках 3 (для $N = 432$) и 4 (для $N = 3300$) представлены средняя точность работы и среднее время выполнения по каждому изображению в наборе при разном количестве поколений, при этом был зафиксирован размер популяции: $P = 300$. Количество поколений выбиралось из отрезка $G \in [1, 100]$. По графикам видно, что с увеличением количества поколений качество улучшается всё меньше, а общее время работы растёт, но при этом время вычисления одного поколения уменьшается (наиболее заметно при $N = 3300$). Это объясняется увеличением доли деталей, размещённых на фазе 1 алгоритма (и кешированием подходящих для этого позиций), из-за достаточной схожести хромосом-предков между собой и с правильным решением. Таким образом, чтобы сохранить разумное время выполнения и качество, для дальнейшего рассмотрения были выбраны значения $G_1 = 30$ и $G_2 = 100$.

В таблицах 1 (с методом SSD) и 2 (с методом MGC) представлены результаты работы генетического алгоритма с разными методами сравнения деталей и конфигурациями ($P_1 = 100$, $G_1 = 30$ и $P_2 = 300$, $G_2 = 100$): средняя точность работы и среднее время выполнения по каждому изображению в наборе для всех наборов изображений, а также среднеквадратические отклонения этих величин. Можно заметить, что увеличение количества поколений и размера популяции привело к незначительному росту точности (не более 1%), при этом время выполнения увеличилось в несколько раз (от 2 до 8, в зависимости от количества деталей). Также видна приблизительно квадратичная зависимость времени выполнения от количества деталей. Использование метода MGC позволяет улучшить точность работы на 1-7% (наибольший прирост для изображений с большим количеством деталей), но при этом происходит замедление в 2-3 раза (для первой конфигурации) или 1.1-1.25 раза (для второй). Следовательно, для итогового сравнения алгоритмов были выбраны параметры: метод MGC, размер популяции $P_1 = 100$, количество поколений $G_1 = 30$.

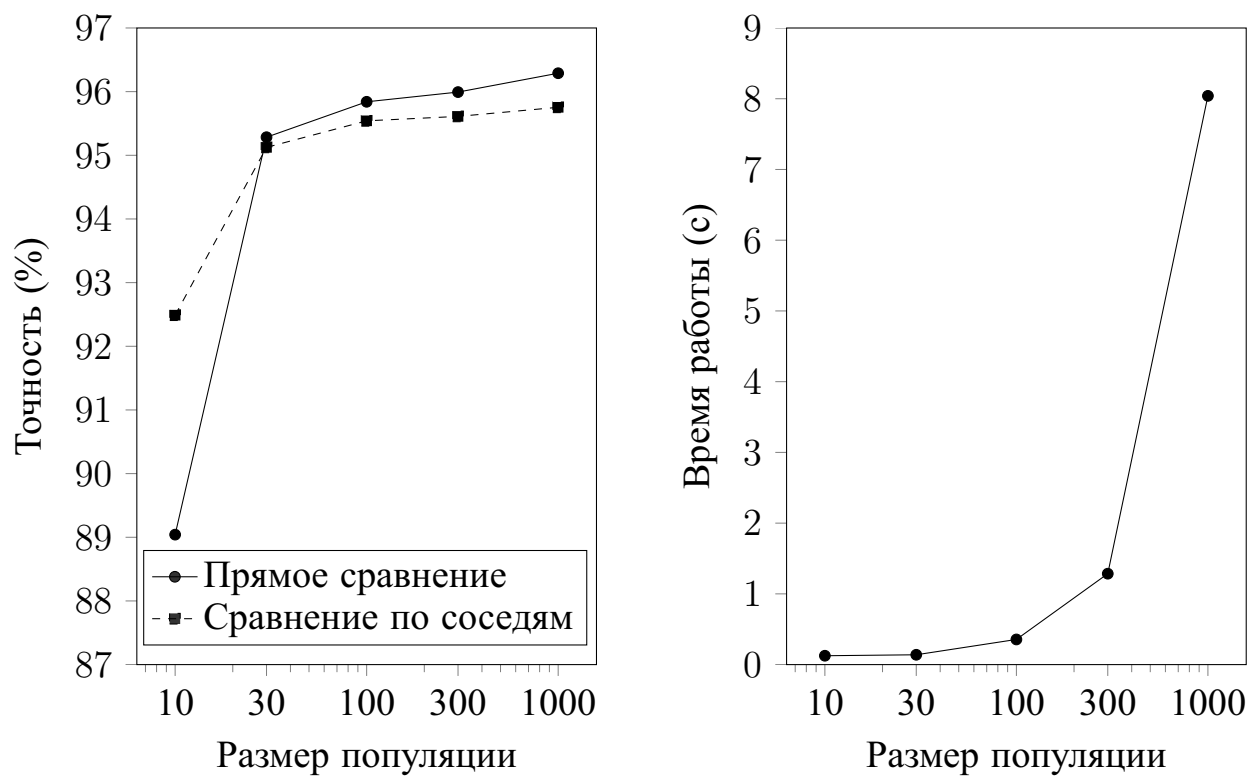


Рисунок 1 – Точность и время работы генетического алгоритма в зависимости от размера популяции на наборе изображений с $N = 432$ и $K = 28$

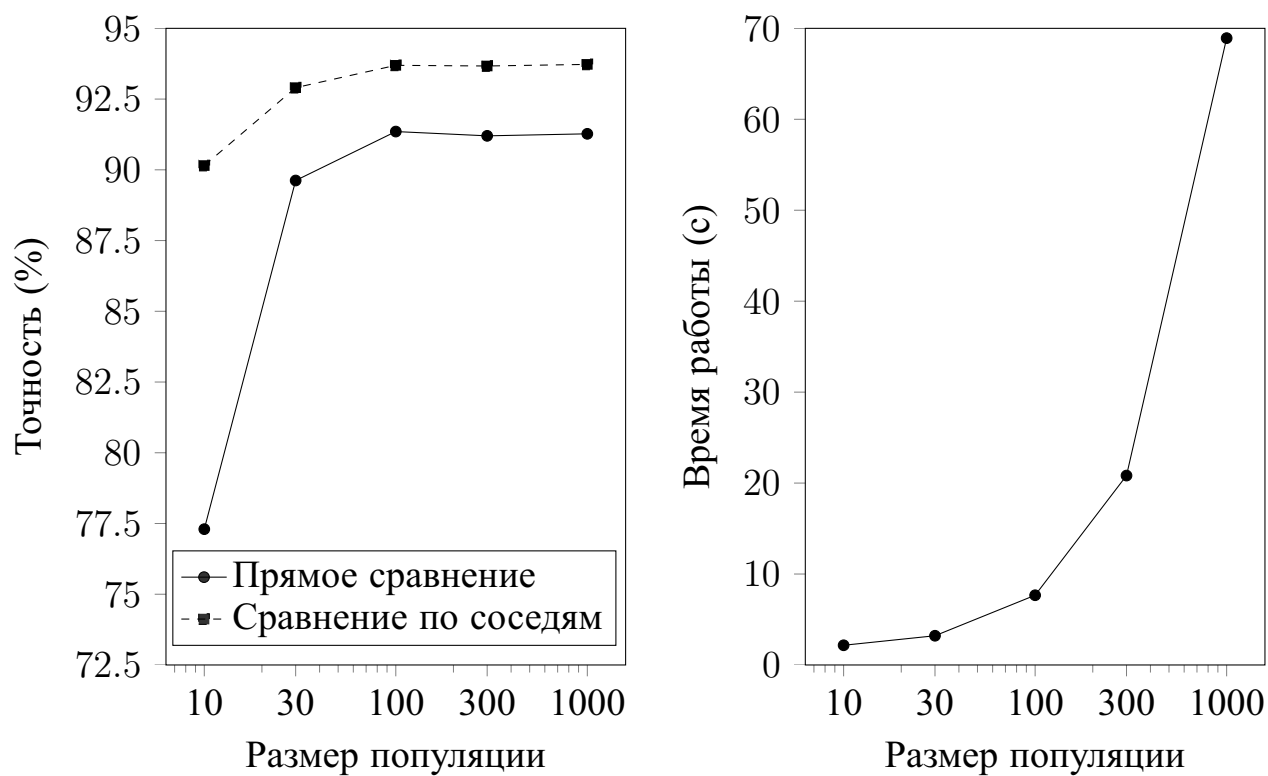


Рисунок 2 – Точность и время работы генетического алгоритма в зависимости от размера популяции на наборе изображений с $N = 3300$ и $K = 28$

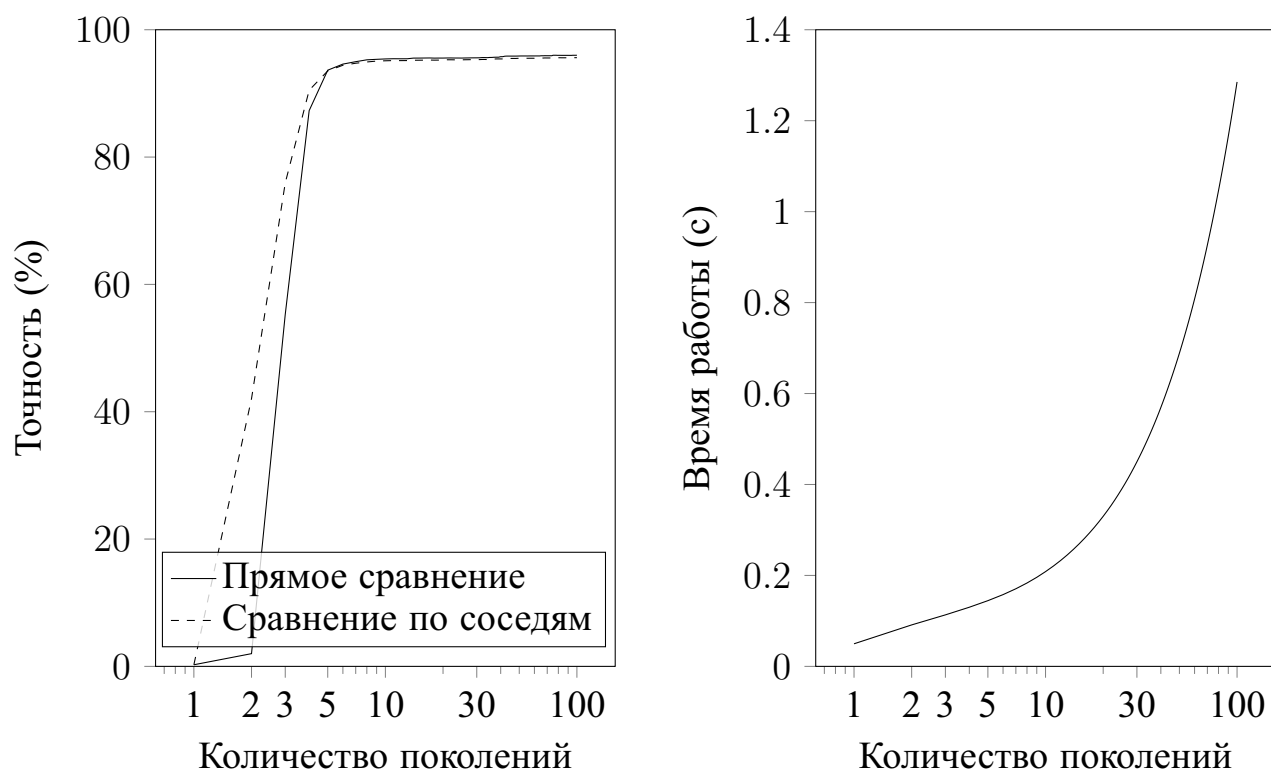


Рисунок 3 – Точность и время работы генетического алгоритма в зависимости от количества поколений на наборе изображений с $N = 432$ и $K = 28$

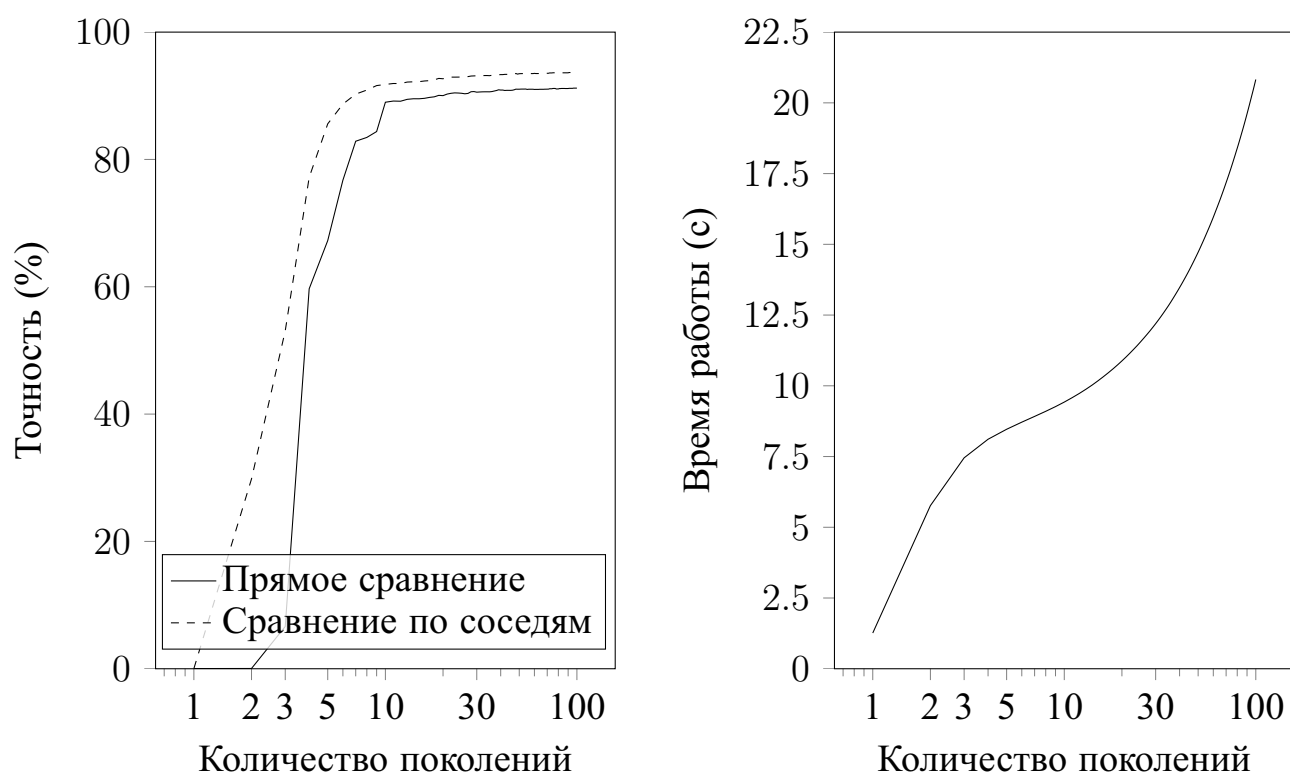


Рисунок 4 – Точность и время работы генетического алгоритма в зависимости от количества поколений на наборе изображений с $N = 3300$ и $K = 28$

Таблица 1 – Точность и время работы генетического алгоритма с методом сравнения деталей LAB SSD при параметрах $P_1 = 100$, $G_1 = 30$ и $P_2 = 300$, $G_2 = 100$

N	$P_1 = 100, G_1 = 30$			$P_2 = 300, G_2 = 100$		
	Прямое сравнение (%)	Ср. по соседям (%)	Время работы (с)	Прямое сравнение (%)	Ср. по соседям (%)	Время работы (с)
432	95.71 ± 0.62	95.39 ± 0.42	0.1464 ± 0.0095	95.99 ± 0.60	95.61 ± 0.41	1.2852 ± 0.0574
540	90.61 ± 0.93	93.25 ± 0.67	0.1963 ± 0.0125	90.80 ± 1.09	93.43 ± 0.54	1.5246 ± 0.0495
805	94.36 ± 1.00	95.42 ± 0.54	0.3394 ± 0.0170	95.06 ± 0.63	95.70 ± 0.38	2.1743 ± 0.0603
2360	86.31 ± 0.42	87.74 ± 0.57	2.7296 ± 0.0647	86.72 ± 0.58	88.13 ± 0.46	13.4461 ± 0.5043
3300	90.47 ± 0.96	92.83 ± 0.73	4.8070 ± 0.1348	91.20 ± 0.14	93.67 ± 0.21	20.8256 ± 0.5604

Таблица 2 – Точность и время работы генетического алгоритма с методом сравнения деталей MGC при параметрах $P_1 = 100$, $G_1 = 30$ и $P_2 = 300$, $G_2 = 100$

N	$P_1 = 100, G_1 = 30$			$P_2 = 300, G_2 = 100$		
	Прямое сравнение (%)	Ср. по соседям (%)	Время работы (с)	Прямое сравнение (%)	Ср. по соседям (%)	Время работы (с)
432	96.22 ± 0.20	95.72 ± 0.15	0.3228 ± 0.0218	96.31 ± 0.09	95.77 ± 0.09	1.4344 ± 0.0609
540	94.04 ± 0.73	96.29 ± 0.42	0.4312 ± 0.0326	94.06 ± 0.63	96.46 ± 0.32	1.7366 ± 0.0579
805	95.26 ± 0.39	95.90 ± 0.29	0.8580 ± 0.0248	95.37 ± 0.30	96.05 ± 0.26	2.6372 ± 0.0591
2360	93.07 ± 0.61	94.76 ± 0.40	7.5897 ± 0.0663	93.05 ± 0.92	94.97 ± 0.34	15.4857 ± 0.3672
3300	93.75 ± 0.44	96.62 ± 0.08	14.2809 ± 0.0771	93.71 ± 1.19	96.63 ± 0.17	25.9687 ± 0.4778

1.3.4 Сравнение всех алгоритмов

В таблице 3 приведены результаты работы алгоритма циклических ограничений с использованием метода сравнения деталей MGC в том же формате, что и в предыдущих таблицах. Можно видеть, что точность на 1-10% меньше по прямому сравнению, и на 1-5% меньше по сравнению по соседям, чем у генетического алгоритма. Для изображений с меньшим количеством деталей ($N \leq 805$) время работы приблизительно совпадает, а при большем N — больше в 1.5 раза.

В таблицах 4 и 5 представлены средняя точность (по методу сравнения по соседям) и время работы всех реализованных алгоритмов в данной работе и статьях [28], [24]. Генетический алгоритм не уступает алгоритму из статьи, а на больших изображениях — превосходит в качестве. Точность алгоритма циклических ограничений немного хуже. Оба алгоритма оказываются намного быстрее (на два порядка) алгоритмов из статей. Это можно объяснить уменьшенным размером популяции и количеством поколений, реализацией на более быстром языке программирования, множеством оптимизаций, а также параллелизацией и более производительным процессором. Также в таблице 6 приведено время выполнения алгоритмов при использовании программой 1 или 12 потоков. Можно видеть, что достигается ускорение в 4.5-5.5 раз при $N = 432$ и увеличивается до 8-8.5 раз для больших изображений, что свидетельствует о высокой эффективности распараллеливания.

Таким образом, наилучший результат по точности и времени работы достигается при использовании генетического алгоритма с методом сравнения деталей MGC, количеством поколений $G = 30$ и размером популяции $P = 100$. Результаты алгоритма на небольших изображениях близки к теоретическому максимуму (меньше 100%, так как невозможно определить положение нескольких полностью совпадающих деталей), и многие пазлы удаётся собрать полностью правильно.

Таблица 3 – Точность и время работы алгоритма циклических ограничений с методом сравнения деталей MGC

N	Прямое сравнение (%)	Сравнение по соседям (%)	Время работы (с)
432	94.98 ± 0.38	94.69 ± 0.12	0.3543 ± 0.0585
540	83.78 ± 0.99	92.67 ± 0.21	0.4745 ± 0.0144
805	88.73 ± 0.28	92.66 ± 0.33	0.9435 ± 0.0290
2360	88.12 ± 1.18	90.15 ± 0.87	11.6076 ± 0.2145
3300	88.92 ± 0.00	94.06 ± 0.03	23.6131 ± 0.0596

Таблица 4 – Точность (по методу сравнения по соседям, %) всех алгоритмов

N	Генетический алгоритм (работа [28])	Алгоритм циклических ограничений (работа [24])	Генетический алгоритм (данная работа)	Алгоритм циклических ограничений (данная работа)
432	96.16	95.5	95.72	94.69
540	95.96	95.2	96.29	92.67
805	96.26	94.9	95.90	92.66
2360	88.86	96.4	94.76	90.15
3300	92.76	96.4	96.62	94.06

Таблица 5 – Время работы (в секундах) всех алгоритмов

N	Генетический алгоритм (работа [28])	Алгоритм циклических ограничений (работа [24])	Генетический алгоритм (данная работа)	Алгоритм циклических ограничений (данная работа)
432	48.73	140	0.3228	0.3543
540	64.06	Н/Д	0.4312	0.4745
805	116.18	Н/Д	0.8580	0.9435
2360	1056	Н/Д	7.5897	11.6076
3300	1814.4	Н/Д	14.2809	23.6131

Таблица 6 – Время работы (в секундах) и ускорение алгоритмов при использовании 1 и 12 потоков

N	Генетический алгоритм			Алг. циклических ограничений		
	Время работы (1 поток)	Время работы (12 потоков)	Ускорение	Время работы (1 поток)	Время работы (12 потоков)	Ускорение
432	1.7260	0.3228	5.35	1.6512	0.3543	4.66
540	2.7940	0.4312	6.48	2.8290	0.4745	5.96
805	7.3459	0.8580	8.56	7.5731	0.9435	8.03
2360	63.7986	7.5897	8.41	95.5544	11.6076	8.23
3300	122.6072	14.2809	8.59	191.7477	23.6131	8.12

2 Детали реализации

Проект состоит из двух частей: библиотеки, содержащей описанные выше алгоритмы и вспомогательные функции, и приложения, реализующего графический интерфейс для выполнения этих алгоритмов. Такая модульная архитектура позволяет отделить интерфейс от логики алгоритмов. Для написания программы был выбран язык Rust из-за сочетания высокой производительности и безопасной работы с памятью и потоками [30]. В качестве зависимостей используются несколько библиотек:

- `iced` — кроссплатформенный фреймворк для создания графического интерфейса;
- `iced_aw` — дополнительные виджеты для `iced`;
- `native-dialog` — кроссплатформенная библиотека для создания диалоговых окон открытия файлов и папок, сохранения файлов;
- `image` — библиотека для работы с изображениями;
- `lab` — библиотека работы с цветовым пространством $L^*a^*b^*$, используется для конвертации из RGB;
- `alphanumeric-sort` — библиотека для сортировки названий файлов в естественном порядке;
- `rand` — библиотека для генерации случайных чисел;
- `rand_xoshiro` — реализация быстрого генератора случайных чисел Xoshiro;
- `float-ord` — обёртка над числами с плавающей запятой, позволяющая их сортировать;
- `rayon` — библиотека параллелизма данных;
- `indexmap` — реализация хеш-таблицы, позволяющей индексирование;
- `fxhash` — быстрый, небезопасный алгоритм хеширования;
- `dark-light` — библиотека для определения предпочитаемой темы (светлой или тёмной).

Также для обработки статистики выполнения алгоритмов, создания таблиц и графиков использовался язык Python в интерактивной среде Jupyter Notebook и библиотеки:

- `pandas` для обработки и анализа данных;
- `matplotlib` и `seaborn` для создания графиков;
- `tikzplotlib` для экспорта графиков в формат PGF/TikZ.

2.1 Библиотека

Библиотека состоит из четырёх модулей: `lib`, `genetic_algorithm`, `loop_constraints_algorithm` и `image_processing`.

В модуле `lib` определён тип для решения пазла — двумерный (представленный как одномерный) массив, содержащий детали — пары из строк и столбцов; приведены функции сравнения деталей — `calculate_lab_ssd` (приведена в приложении А, описана в разделе 1.1.1) и `calculate_mgc` (приведена в приложении Б, описана в разделе 1.1.2); функции оценки решений, описанные в разделе 1.3 — `image_direct_comparison` (прямое сравнение) и `image_neighbour_comparison` (сравнение по соседям); и вспомогательные функции для работы с решениями — `generate_random_solution` для создания случайного решения, `apply_permutation_to_solution` для применения перестановки к решению, `solution_compatibility` для вычисления суммы несовместимостей всех смежных деталей в решении.

В модулях `genetic_algorithm` (код приведён в приложении В) и `loop_constraints_algorithm` (код приведён в приложении Г) реализованы алгоритмы сборки пазлов — генетический и циклических ограничений. Их реализация была подробно описана в разделах 1.2.1 и 1.2.2.

В модуле `image_processing` приведены вспомогательные функции для работы с изображениями: `get_image_handle` для преобразования из формата RGBA в BGRA и создания указателя на изображение для фреймворка `iced`, `get_solution_image` для получения изображения решения с возможностью отображения некорректных деталей, `get_rgb_image` для преобразования из формата RGBA в RGB и `get_lab_image` для преобразования в цветовое пространство $L^*a^*b^*$.

2.2 Приложение

Приложение состоит из двух основных модулей `app` и `algorithms_async`, а также `main`, в котором соответствующая функция создаёт и запускает приложение.

Модуль `app` реализует интерфейс и его логику. В нём определены структуры `AppState` для состояния приложения (выбранные значения в интерфейсе, состояния загрузки изображений и выполнения алгоритмов), `ErrorModalState` для состояния окна сообщения об ошибке, а также пе-

речисления `AppMessage` для сообщений от интерфейса (нажатия кнопок, изменения текстовых полей) и `ErrorModalMessage` для сообщений от окна для ошибок. Для `AppState` реализованы функции `update_with_result` для обработки сообщений, `load_images_start` для открытия окна выбора папки с изображениями, `save_results` для сохранения статистики работы алгоритмов в файл, `save_image` для сохранения текущего изображения в файл, `algorithm_start` для запуска выбранного алгоритма и `load_selected_image` для обновления отображаемого изображения.

Также `app` содержит подмодули `app_ui`, `images_loader` и `style`. В `app_ui` определена структура `AppUIState`, сохраняющая состояния виджетов, для которой реализованы функции `new` (создание структуры и определение темы интерфейса), `reset_state` (сброс состояния выбранного изображения); а также приведена функция `view` для `AppState`, генерирующая интерфейс для текущего состояния. В подмодуле `style` заданы темы: светлая (стандартная) и тёмная (реализована как подмодуль). В `images_loader` реализована асинхронная загрузка изображений: определены структуры `LoadImagesData` (данные текущего состояния — пути, изображения, их имена), `LoadImagesResponseData` (данные результата одного этапа загрузки) и перечисления `LoadImagesRequest` (запрос на определение путей всех файлов в папке или загрузку одного изображения), `LoadImagesResponse` (результат запроса — все пути или изображение), `LoadImagesState` (текущее состояние — не загружено, подготовка путей, загрузка определённого изображения или завершено), `LoadImagesMessage` (сообщение о результате для интерфейса). Также создана функция `load_images_next`, асинхронно выполняющая следующий этап загрузки изображений по заданному запросу.

Модуль `algorithms_async` позволяет асинхронно работать с реализованными алгоритмами сборки пазлов, содержащихся в библиотеке. Модуль содержит перечисления `Algorithm` и `CompatibilityMeasure`, описывающие два алгоритма и два метода сравнения деталей, а также `AlgorithmData` (текущее состояние алгоритма), `AlgorithmDataRequest` (данные запроса на выполнение алгоритма), `AlgorithmDataResponse` (данные результата выполнения), `AlgorithmState` (состояние алгоритма), `AlgorithmMessage` (сообщение о результате выполнения), `AlgorithmError` (ошибка выполнения алгоритма). Для них реализованы вспомогательные функции, перена-

правляющие вызовы к соответствующим структурам алгоритмов. Также реализована функция `algorithm_next`, вызывающая следующий этап алгоритма: для генетического — создание нового поколения, для алгоритма циклических ограничений — обработка нового изображения. В подмодулях `genetic_algorithm` и `loop_constraints_algorithm` для каждого алгоритма созданы структуры и функции, соответствующие перечислениям и функциям из основного модуля.

2.3 Интерфейс

Интерфейс приложения состоит из одного окна, как показано на рисунке 5. В левой части находится кнопка загрузки изображений из папки, переключатели для выбора алгоритма сборки и метода сравнения деталей, поля для ввода параметров алгоритма, кнопки запуска, сохранения результатов (статистики выполнения) алгоритма, и сохранения текущего отображаемого изображения. Снизу отображается текущий статус приложения. После запуска возможно только одно действие — выбор папки с изображениями. После их загрузки в правой части появится их список с миниатюрами и названиями файлов (рисунок 6). Далее можно настроить необходимые параметры и запустить алгоритм, причём в строке статуса будет отображаться номер обрабатываемого изображения (и поколения для генетического алгоритма). После завершения работы кнопки изображений и сохранения результатов станут доступны. При выборе какого-либо изображения можно просмотреть результат сборки (для генетического алгоритма — лучший результат по каждому поколению) в центре окна, причём возможно включить отображение неправильных деталей по одному из способов (прямое сравнение или по соседям), также снизу выводится точность сборки по каждому методу (рисунок 7). Для обработки другими программами можно сохранить CSV-таблицу с точностью и временем работы для каждого изображения и поколения. Приложение поддерживает светлую и тёмную темы — можно выбрать с помощью переменной окружения `THEME` (значения `light` и `dark`), а при её отсутствии выбирается системная тема. Также возможно использование переменной окружения `RAYON_NUM_THREADS` для изменения количества доступных для алгоритмов потоков выполнения.

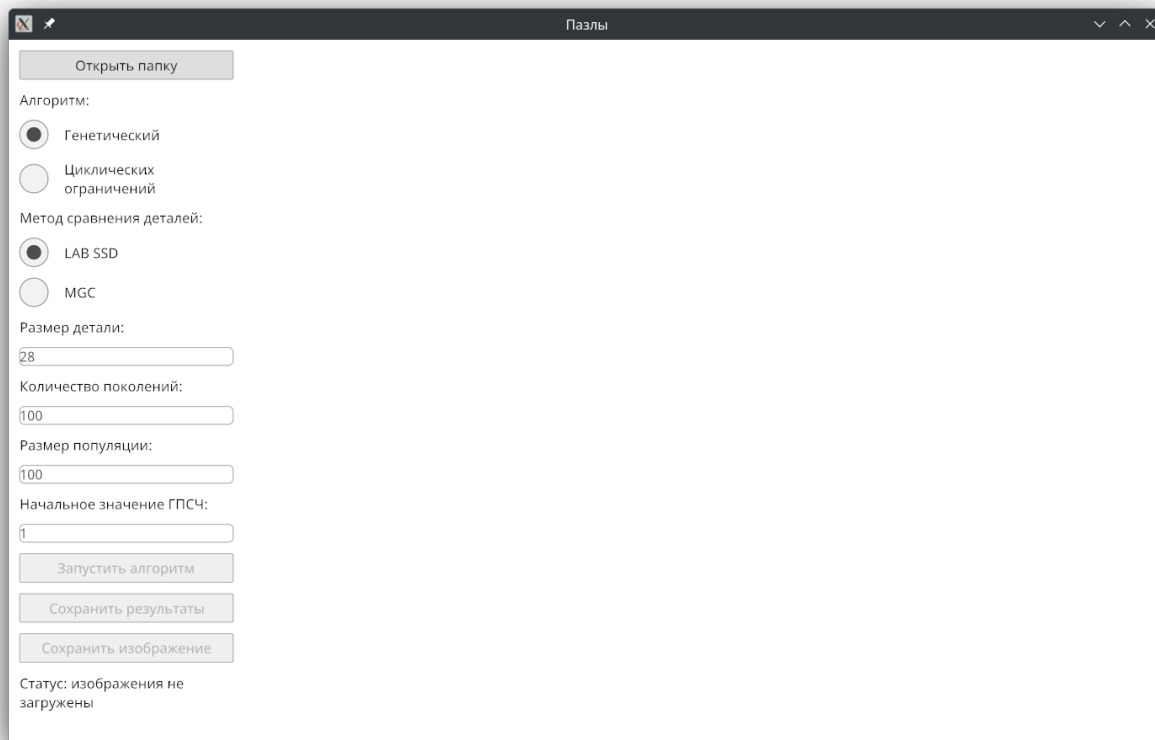


Рисунок 5 – Окно приложения после запуска

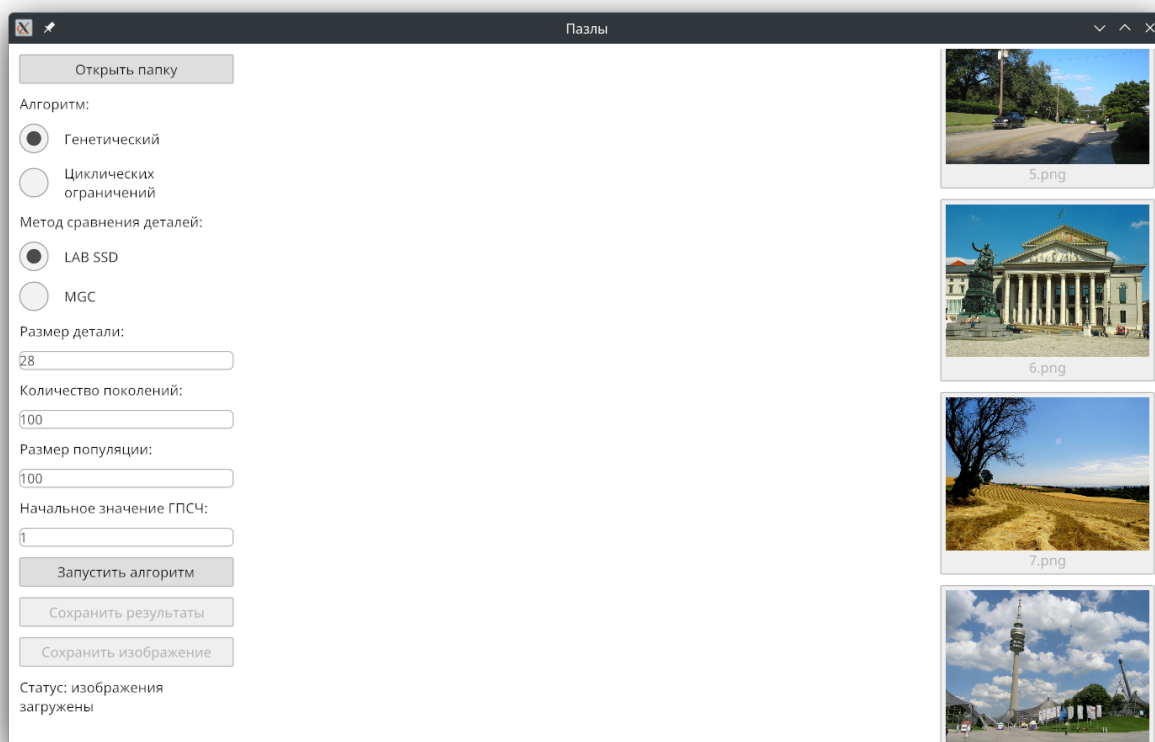


Рисунок 6 – Окно приложения после загрузки изображений

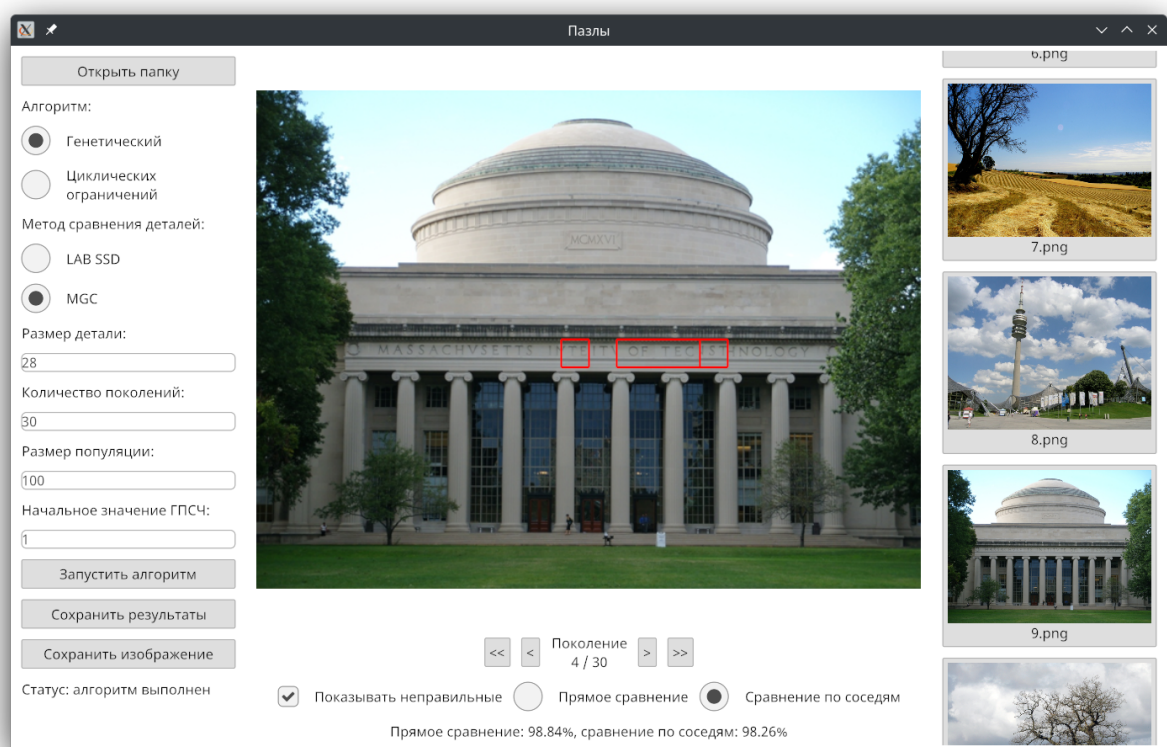


Рисунок 7 – Окно приложения после выполнения алгоритма — просмотр результатов

ЗАКЛЮЧЕНИЕ

В данной работе создано приложение для запуска и отображения результатов работы алгоритмов автоматической сборки пазлов. Была изучена литература и выбраны два лучших метода сравнения деталей: LAB SSD и MGC, и два алгоритма сборки: генетический и циклических ограничений; для них были созданы оптимизированные реализации. После проведён выбор оптимальных параметров генетического алгоритма, сравнение SSD и MGC по времени работы и качеству, а затем итоговое сравнение алгоритмов на разнообразных наборах изображений по двум способам оценки точности результатов и по затраченному времени, в том числе для однопоточных и параллельных версий. Выяснилось, что удалось добиться высокого качества сборки и значительно меньшего времени выполнения, чем в известных статьях.

В ходе написания работы были решены следующие задачи:

- реализованы различные методы сравнения деталей;
- изучены и реализованы два алгоритма сборки пазлов;
- создано приложение для выполнения и визуализации результатов работы алгоритмов;
- найдены методы оценки результатов;
- проведено сравнение реализованных алгоритмов и методов сравнения деталей по критериям точности и времени работы.

СПИСОК ИСПОЛЬЗОВАННЫХ ИСТОЧНИКОВ

1. *Willis A. R., Cooper D. B.* Computational reconstruction of ancient artifacts // IEEE Signal Processing Magazine. — 2008. — Vol. 25, no. 4. — P. 65–83.
2. *Son K., Almeida E. B., Cooper D. B.* Axially symmetric 3D pots configuration system using axis of symmetry and break curve // Proceedings of the IEEE Conference on Computer Vision and Pattern Recognition. — 2013. — P. 257–264.
3. *Zhu L., Zhou Z., Hu D.* Globally consistent reconstruction of ripped-up documents // IEEE Transactions on pattern analysis and machine intelligence. — 2007. — Vol. 30, no. 1. — P. 1–13.
4. *Cao S., Liu H., Yan S.* Automated assembly of shredded pieces from multiple photos // 2010 IEEE International Conference on Multimedia and Expo. — IEEE. 2010. — P. 358–363.
5. *Garfinkel S. L.* Digital forensics research: The next 10 years // Digital Investigation. — 2010. — Vol. 7. — S64–S73.
6. *Memon N., Pal A.* Automated reassembly of file fragmented images using greedy algorithms // IEEE transactions on image processing. — 2006. — Vol. 15, no. 2. — P. 385–393.
7. *Cho T. S., Avidan S., Freeman W. T.* The patch transform // IEEE transactions on pattern analysis and machine intelligence. — 2009. — Vol. 32, no. 8. — P. 1489–1501.
8. A puzzle solver and its application in speech descrambling / Y.-X. Zhao [et al.] // WSEAS International Conference on Computer Engineering and Applications. — Citeseer. 2007. — P. 171–176.
9. *Freeman H., Garder L.* Apictorial jigsaw puzzles: The computer solution of a problem in pattern recognition // IEEE Transactions on Electronic Computers. — 1964. — No. 2. — P. 118–127.
10. Solving jigsaw puzzles by computer / H. Wolfson [et al.] // Annals of Operations Research. — 1988. — Vol. 12, no. 1. — P. 51–64.
11. *Cho T. S., Avidan S., Freeman W. T.* A probabilistic image jigsaw puzzle solver // 2010 IEEE Computer Society Conference on Computer Vision and Pattern Recognition. — IEEE. 2010. — P. 183–190.

12. *Pomeranz D., Shemesh M., Ben-Shahar O.* A fully automated greedy square jigsaw puzzle solver // CVPR 2011. — IEEE. 2011. — P. 9–16.
13. *Demaine E. D., Demaine M. L.* Jigsaw puzzles, edge matching, and polyomino packing: Connections and complexity // Graphs and Combinatorics. — 2007. — Vol. 23, no. 1. — P. 195–208.
14. An automatic jigsaw puzzle solver / D. A. Kosiba [et al.] // Proceedings of 12th International Conference on Pattern Recognition. Vol. 1. — IEEE. 1994. — P. 616–618.
15. *Yang X., Adluru N., Latecki L. J.* Particle filter with state permutations for solving image jigsaw puzzles // CVPR 2011. — IEEE. 2011. — P. 2873–2880.
16. *Alajlan N.* Solving square jigsaw puzzles using dynamic programming and the hungarian procedure // American Journal of Applied Sciences. — 2009. — Vol. 6, no. 11. — P. 1941.
17. *Makridis M., Papamarkos N.* A new technique for solving a jigsaw puzzle // 2006 International Conference on Image Processing. — IEEE. 2006. — P. 2001–2004.
18. *Nielsen T. R., Drewsen P., Hansen K.* Solving jigsaw puzzles using image features // Pattern Recognition Letters. — 2008. — Vol. 29, no. 14. — P. 1924–1933.
19. *Sagiroglu M. S., Erçil A.* A texture based matching approach for automated assembly of puzzles // 18th International Conference on Pattern Recognition (ICPR'06). Vol. 3. — IEEE. 2006. — P. 1036–1041.
20. *Yao F.-H., Shao G.-F.* A shape and image merging technique to solve jigsaw puzzles // Pattern Recognition Letters. — 2003. — Vol. 24, no. 12. — P. 1819–1835.
21. *Criminisi A., Perez P., Toyama K.* Object removal by exemplar-based inpainting // 2003 IEEE Computer Society Conference on Computer Vision and Pattern Recognition, 2003. Proceedings. Vol. 2. — IEEE. 2003. — P. II–II.

22. *Gallagher A. C.* Jigsaw puzzles with pieces of unknown orientation // 2012 IEEE Conference on Computer Vision and Pattern Recognition. — IEEE. 2012. — P. 382–389.
23. *Sholomon D., David O., Netanyahu N.* A generalized genetic algorithm-based solver for very large jigsaw puzzles of complex types // Proceedings of the AAAI Conference on Artificial Intelligence. Vol. 28. — 2014.
24. *Son K., Hays J., Cooper D. B.* Solving square jigsaw puzzles with loop constraints // European Conference on Computer Vision. — Springer. 2014. — P. 32–46.
25. *Weiss Y., Freeman W. T.* What makes a good model of natural images? // 2007 IEEE Conference on Computer Vision and Pattern Recognition. — IEEE. 2007. — P. 1–8.
26. *Jain A. K.* Fundamentals of digital image processing. — Prentice-Hall, Inc., 1989. — ISBN 0-13-336165-9.
27. Assembly of puzzles using a genetic algorithm / F. Toyama [et al.] // Object recognition supported by user interaction for service robots. Vol. 4. — IEEE. 2002. — P. 389–392.
28. *Sholomon D., David O. E., Netanyahu N. S.* An automatic solver for very large jigsaw puzzles using genetic algorithms // Genetic Programming and Evolvable Machines. — 2016. — Vol. 17, no. 3. — P. 291–313.
29. *Емельянов В. В., Курейчик В. В., Курейчик В. М.* Теория и практика эволюционного моделирования. — М.: Физматлит, 2003. — 432 с. — ISBN 5-9221-0337-7.
30. *Блэнди Д., Орендорф Д.* Программирование на языке Rust / пер. с англ. А. А. Слинкина. — М.: ДМК Пресс, 2018. — 550 с. — ISBN 978-5-97060-236-2.

ПРИЛОЖЕНИЕ А

Программный код метода сравнения деталей SSD

```
1  // Вычисление SSD (sum of squared differences, сумма квадратов разностей)
2  // в цветовом пространстве L*a*b* для деталей
3  pub fn calculate_lab_ssd(
4      image: &RgbaImage,
5      img_width: usize,
6      img_height: usize,
7      piece_size: usize,
8  ) -> [Vec<Vec<f32>>; 2] {
9      // Пиксели изображения в цветовом пространстве L*a*b*
10     let lab_pixels = get_lab_image(image);
11     // Ширина изображения в пикселях
12     let image_width = img_width * piece_size;
13
14     // Несходство пикселей - разность цветов в пространстве L*a*b*
15     let two_pixels_dissimilarity =
16         |i: usize, j: usize| lab_pixels[i].squared_distance(&lab_pixels[j]);
17
18     // Вычисление несходства детали i (строка i_r, столбец i_c),
19     // находящейся слева от детали j (строка j_r, столбец j_c)
20     let right_dissimilarity: Vec<Vec<f32>> = (0..img_height)
21         .into_par_iter()
22         .flat_map_iter(|i_r| {
23             (0..img_width)
24                 .map(|i_c| {
25                     (0..img_height)
26                         .flat_map(|j_r| {
27                             (0..img_width)
28                                 .map(|j_c| {
29                                     (0..piece_size)
30                                         .map(|k| {
31                                             two_pixels_dissimilarity(
32                                                 // k-й элемент последнего столбца i-й детали
33                                                 (i_r * piece_size + k) * image_width
34                                                 + i_c * piece_size
35                                                 + piece_size
36                                                 - 1,
37                                                 // k-й элемент первого столбца j-й детали
38                                                 (j_r * piece_size + k) * image_width
39                                                 + j_c * piece_size,
40                                             )
41                                         })
42                                     .sum:::<f32>()
43                                     .sqrt()
44                                 })
45                             .collect:::<Vec<_>>()
```



```

46         })
47         .collect()
48     })
49     .collect::// Вычисление несходства детали i (строка i_r, столбец i_c),
53 // находящейся сверху от детали j (строка j_r, столбец j_c)
54 let down_dissimilarity: Vec<Vec<f32>> = (0..img_height)
55     .into_par_iter()
56     .flat_map_iter(|i_r| {
57         (0..img_width)
58         .map(|i_c| {
59             (0..img_height)
60             .flat_map(|j_r| {
61                 (0..img_width)
62                 .map(|j_c| {
63                     (0..piece_size)
64                     .map(|k| {
65                         two_pixels_dissimilarity(
66                             // k-й элемент последней строки i-й детали
67                             (i_r * piece_size + piece_size - 1) * image_width
68                             + i_c * piece_size
69                             + k,
70                             // k-й элемент первой строки j-й детали
71                             j_r * piece_size * image_width
72                             + j_c * piece_size
73                             + k,
74                         )
75                     })
76                     .sum::()
77                     .sqrt()
78                 })
79                 .collect::

```

ПРИЛОЖЕНИЕ Б

Программный код метода сравнения деталей MGC

```
1 // Вычисление MGC (Mahalanobis Gradient Compatibility, совместимость градиентов
   ↳ Махаланобиса) для деталей
2 pub fn calculate_mgc(
3     image: &RgbaImage,
4     img_width: usize,
5     img_height: usize,
6     piece_size: usize,
7 ) -> [Vec<Vec<f32>>; 2] {
8     // Пиксели изображения в цветовом пространстве RGB
9     let rgb_pixels = get_rgb_image(image);
10    // Ширина изображения в пикселях
11    let image_width = img_width * piece_size;
12
13    // Вычисление MGC для одной стороны (по градиентам в одной из деталей и градиенту между
   ↳ ними)
14    let calc_mgc_part = |grad_side: Vec<[f32; 3]>, grad_mid: Vec<[f32; 3]>| {
15        const EPS: f32 = 1e-6;
16
17        let sz = grad_side.len() as f32;
18        // Средний градиент по каждому цветовому каналу
19        let means = [0, 1, 2].map(|i| grad_side.iter().map(|v| v[i]).sum::<f32>() / sz);
20        // Коэффициент ковариации
21        let cov_denom = 1.0 / (sz - 1.0);
22        // Вычисление ковариации для разных величин
23        let get_cov = |i, j| {
24            grad_side
25                .iter()
26                .map(|v| (v[i] - means[i]) * (v[j] - means[j]))
27                .sum::<f32>()
28                * cov_denom
29        };
30        // Вычисление ковариации величины с самой собой (дисперсии)
31        let get_cov_sqr = |i: usize| {
32            grad_side
33                .iter()
34                .map(|v| (v[i] - means[i]).powi(2))
35                .sum::<f32>()
36                * cov_denom
37        };
38        // Матрица ковариаций между градиентами по каждому цветовому каналу:
39        // [[a b c]]
40        // [[d e f]]
41        // [[g h i]]
42        // Так как она симметрична, то d = b, g = c, h = f, и они не вычисляются
43        // К элементам на диагонали добавляется EPS для численной стабильности инвертирования
   ↳ матрицы
```

```

44 let a = get_cov_sqr(0) + EPS;
45 let e = get_cov_sqr(1) + EPS;
46 let i = get_cov_sqr(2) + EPS;
47 let b = get_cov(0, 1);
48 let c = get_cov(0, 2);
49 let f = get_cov(1, 2);
50 // Вычисление обратной к матрице ковариаций:
51 //          1          [[(ei - fh) (ch - bi) (bf - ce)]]
52 // ----- [[(fg - di) (ai - cg) (cd - af)]]
53 // a * ei_ff + b * cf_bi + c * bf_ce [[(dh - eg) (bg - ah) (ae - bd)]]
54 // Элементы матрицы (d, g, h заменены)
55 let ei_ff = e * i - f * f;
56 let cf_bi = c * f - b * i;
57 let bf_ce = b * f - c * e;
58 let bc_af = b * c - a * f;
59 let ai_cc = a * i - c * c;
60 let ae_bb = a * e - b * b;
61 // Коэффициент обратной матрицы
62 let denom = 1.0 / (a * ei_ff + b * cf_bi + c * bf_ce);
63 // Умножение на коэффициент и на 2 (при необходимости для следующих формул)
64 let ei_ff = ei_ff * denom;
65 let cf_bi = 2.0 * (cf_bi * denom);
66 let bf_ce = 2.0 * (bf_ce * denom);
67 let bc_af = 2.0 * (bc_af * denom);
68 let ai_cc = ai_cc * denom;
69 let ae_bb = ae_bb * denom;
70 // Разность между градиентом из одной детали в другую и средним градиентом в детали
71 let grad_diff: Vec<_> = grad_mid
72   .iter()
73   .map(|v| [v[0] - means[0], v[1] - means[1], v[2] - means[2]])
74   .collect();
75 // Вычисление результата (. - умножение матриц):
76 // sz
77 // SUM grad_diff[i] . covariations_inv . (grad_diff[i])^T
78 // i=0
79 // Можно преобразовать как сумму элементов матрицы вида (* - поточечное умножение):
80 // grad_diff . covariations_inv * grad_diff
81 // Эта формула вычисляется посточно для grad_diff и подставляются элементы матрицы,
82 // обратной к матрице ковариаций
83 let res = grad_diff
84   .iter()
85   .map(|v| {
86     (v[0] * ei_ff + v[1] * cf_bi + v[2] * bf_ce) * v[0]
87     + (v[1] * ai_cc + v[2] * bc_af) * v[1]
88     + ae_bb * v[2] * v[2]
89   })
90   .sum::<f32>();
91 f32::max(0.0, res).sqrt()

```

```

92     };
93
94     // Вычисление MGC для детали i (строка i_r, столбец i_c),
95     // находящейся слева от детали j (строка j_r, столбец j_c)
96     let right_mgc: Vec<Vec<f32>> = (0..img_height)
97         .into_par_iter()
98         .flat_map_iter(|i_r| {
99             (0..img_width)
100                 .map(|i_c| {
101                     (0..img_height)
102                         .flat_map(|j_r| {
103                             (0..img_width)
104                                 .map(|j_c| {
105                                     // Градиент из предпоследнего столбца i-й детали в её последний столбец
106                                     let grad_l = (0..piece_size)
107                                         .map(|k| {
108                                             [0, 1, 2].map(|c| {
109                                                 (rgb_pixels[(i_r * piece_size + k) * image_width
110                                                     + i_c * piece_size
111                                                     + piece_size
112                                                     - 1][c]
113                                                 - rgb_pixels[(i_r * piece_size + k)
114                                                     * image_width
115                                                     + i_c * piece_size
116                                                     + piece_size
117                                                     - 2][c])
118                                                 as f32
119                                             })
120                                         })
121                                     .collect::<Vec<_>>();
122                                     // Градиент из последнего столбца i-й детали в первый столбец j-й детали
123                                     let grad_lr = (0..piece_size)
124                                         .map(|k| {
125                                             [0, 1, 2].map(|c| {
126                                                 (rgb_pixels[(j_r * piece_size + k) * image_width
127                                                     + j_c * piece_size][c]
128                                                 - rgb_pixels[(i_r * piece_size + k)
129                                                     * image_width
130                                                     + i_c * piece_size
131                                                     + piece_size
132                                                     - 1][c])
133                                                 as f32
134                                             })
135                                         })
136                                     .collect::<Vec<_>>();
137                                     // Градиент из первого столбца j-й детали в последний столбец i-й детали
138                                     let grad_rl = grad_lr
139                                         .iter()

```

```

140         .map(|x: &[f32; 3]| [-x[0], -x[1], -x[2]])
141         .collect::// Градиент из второго столбца j-й детали в её первый столбец
143     let grad_r = (0..piece_size)
144         .map(|k| {
145             [0, 1, 2].map(|c| {
146                 (rgb_pixels[(j_r * piece_size + k) * image_width
147                     + j_c * piece_size][c]
148                     - rgb_pixels[(j_r * piece_size + k)
149                         * image_width
150                         + j_c * piece_size
151                         + 1][c])
152                 as f32
153             })
154         })
155         .collect::// Вычисление MGC как суммы MGC слева направо и справа налево
157     calc_mgc_part(grad_l, grad_lr) + calc_mgc_part(grad_r, grad_rl)
158 })
159 .collect::// Вычисление MGC для детали i (строка i_r, столбец i_c),
167 // находящейся сверху от детали j (строка j_r, столбец j_c)
168 let down_mgc: Vec<Vec<f32>> = (0..img_height)
169     .into_par_iter()
170     .flat_map_iter(|i_r| {
171         (0..img_width)
172         .map(|i_c| {
173             (0..img_height)
174             .flat_map(|j_r| {
175                 (0..img_width)
176                 .map(|j_c| {
177                     // Градиент из предпоследней строки i-й детали в её последнюю строку
178                     let grad_u = (0..piece_size)
179                         .map(|k| {
180                             [0, 1, 2].map(|c| {
181                                 (rgb_pixels[(i_r * piece_size + piece_size - 1)
182                                     * image_width
183                                     + i_c * piece_size
184                                     + k][c]
185                                 - rgb_pixels[(i_r * piece_size + piece_size
186                                     - 2)
187                                     * image_width

```

```

188         + i_c * piece_size
189         + k][c])
190     as f32
191     })
192 })
193 .collect::<Vec<_>>();
194 // Градиент из последней строки i-й детали в первую строку j-й детали
195 let grad_ud = (0..piece_size)
196     .map(|k| {
197         [0, 1, 2].map(|c| {
198             (rgb_pixels[j_r * piece_size * image_width
199                 + j_c * piece_size
200                 + k][c]
201                 - rgb_pixels[(i_r * piece_size + piece_size
202                     - 1)
203                     * image_width
204                     + i_c * piece_size
205                     + k][c])
206             as f32
207         })
208     })
209     .collect::<Vec<_>>();
210 // Градиент из первого столбца j-й детали в последний столбец i-й детали
211 let grad_du = grad_ud
212     .iter()
213     .map(|x: &[f32; 3]| [-x[0], -x[1], -x[2]])
214     .collect::<Vec<_>>();
215 // Градиент из второй строки j-й детали в её первую строку
216 let grad_d = (0..piece_size)
217     .map(|k| {
218         [0, 1, 2].map(|c| {
219             (rgb_pixels[j_r * piece_size * image_width
220                 + j_c * piece_size
221                 + k][c]
222                 - rgb_pixels[(j_r * piece_size + 1)
223                     * image_width
224                     + j_c * piece_size
225                     + k][c])
226             as f32
227         })
228     })
229     .collect::<Vec<_>>();
230 // Вычисление MGC как суммы MGC сверху вниз и снизу вверх
231 calc_mgc_part(grad_u, grad_ud) + calc_mgc_part(grad_d, grad_du)
232 })
233 .collect::<Vec<_>>()
234 })
235 .collect()

```

```
236         })
237         .collect::<Vec<_>>()
238     })
239     .collect();
240     [right_mgc, down_mgc]
241 }
```

ПРИЛОЖЕНИЕ В

Программный код генетического алгоритма

```
1  const ELITISM_COUNT: usize = 4;
2  const MUTATION_RATE_1: f32 = 0.001;
3  const MUTATION_RATE_3: f32 = 0.005;
4
5  // Нахождение "лучших приятелей"
6  pub fn find_best_buddies(
7      img_width: usize,
8      pieces_compatibility: &[Vec<Vec<f32>>; 2],
9  ) -> [Vec<(usize, usize)>; 4] {
10     // Нахождение приятелей справа и снизу от детали
11     let get_buddies = |ind: usize| {
12         pieces_compatibility[ind]
13             .par_iter()
14             .enumerate()
15             .map(|(i, v)| {
16                 v.iter()
17                     .enumerate()
18                     .filter(|(j, _)| i != *j)
19                     .reduce(|x, y| if x.1 <= y.1 { x } else { y })
20                     .map(|(j, _)| (j / img_width, j % img_width))
21                     .unwrap()
22             })
23             .collect::<Vec<_>>();
24     };
25     let right_buddies = get_buddies(0);
26     let down_buddies = get_buddies(1);
27
28     // Нахождение приятелей слева и сверху от детали
29     let get_opposite_buddies = |ind: usize| {
30         (0..pieces_compatibility[ind].len())
31             .into_par_iter()
32             .map(|i| {
33                 pieces_compatibility[ind]
34                     .iter()
35                     .enumerate()
36                     .map(|(j, v)| (j, v[i]))
37                     .filter(|(j, _)| i != *j)
38                     .reduce(|x, y| if x.1 <= y.1 { x } else { y })
39                     .map(|(j, _)| (j / img_width, j % img_width))
40                     .unwrap()
41             })
42             .collect::<Vec<_>>();
43     };
44     let left_buddies = get_opposite_buddies(0);
45     let up_buddies = get_opposite_buddies(1);
```



```

46
47 [right_buddies, down_buddies, left_buddies, up_buddies]
48 }
49
50 // Скрещивание
51 fn chromosomes_crossover(
52     img_width: usize,
53     img_height: usize,
54     pieces_compatibility: &[Vec<Vec<f32>>; 2],
55     pieces_buddies: &[Vec<(usize, usize)>; 4],
56     chromosome_1: &Solution,
57     chromosome_2: &Solution,
58     mut rng: Xoshiro256PlusPlus,
59 ) -> Solution {
60     // Случайная начальная деталь
61     let start_piece = (
62         (0..img_height).choose(&mut rng).unwrap(),
63         (0..img_width).choose(&mut rng).unwrap(),
64     );
65
66     // Положение каждой детали в каждом предке
67     let mut pos_in_chromosome_1 = vec![(usize::MAX, usize::MAX); img_width * img_height];
68     let mut pos_in_chromosome_2 = pos_in_chromosome_1.clone();
69     for r in 0..img_height {
70         for c in 0..img_width {
71             let (i, j) = chromosome_1[r * img_width + c];
72             pos_in_chromosome_1[i * img_width + j] = (r, c);
73
74             let (i, j) = chromosome_2[r * img_width + c];
75             pos_in_chromosome_2[i * img_width + j] = (r, c);
76         }
77     }
78
79     // Свободные детали
80     let mut free_pieces: IndexSet<_, FxBuildHasher> = (0..img_height)
81         .flat_map(|r| (0..img_width).map(move |c| (r, c)))
82         .collect();
83
84     // Свободные позиции, подходящие для фазы 1, и детали, которые можно туда поставить
85     let mut free_positions_phase_1 = IndexMap::with_hasher(FxBuildHasher::default());
86     // Свободные позиции, подходящие для фазы 2, и детали, которые можно туда поставить
87     let mut free_positions_phase_2 = IndexMap::with_hasher(FxBuildHasher::default());
88     // Свободные позиции, подходящие для фазы 3
89     let mut free_positions_phase_3 = IndexSet::with_hasher(FxBuildHasher::default());
90     // Свободные позиции, не подходящие для фазы 1, которые должны быть рассмотрены в фазе 2
91     ↳ или 3
92     let mut free_positions_not_in_phase_1 = IndexSet::with_hasher(FxBuildHasher::default());
93     // Свободные нерассмотренные позиции
94     let mut free_positions_unknown: IndexSet<(usize, usize), _> =

```

```

93     IndexSet::with_hasher(FxBuildHasher::default());
94     // Позиции, не подходящие для фазы 1
95     let mut bad_positions_phase_1 = vec![false; 2 * img_width * 2 * img_height];
96     // Позиции, не подходящие для фазы 2
97     let mut bad_positions_phase_2 = vec![false; 2 * img_width * 2 * img_height];
98     // Соответствие деталям позиций, подходящих для фазы 1
99     let mut piece_to_pos_phase_1: IndexMap<(usize, usize), Vec<(usize, usize)>, _> =
100         IndexMap::with_hasher(FxBuildHasher::default());
101     // Соответствие деталям позиций, подходящих для фазы 2
102     let mut piece_to_pos_phase_2: IndexMap<(usize, usize), Vec<(usize, usize)>, _> =
103         IndexMap::with_hasher(FxBuildHasher::default());
104
105     // Новая хромосома, получаемая в результате скрещивания
106     // Так как неизвестно положение начальной детали в исходном изображении,
107     // и построение может идти в любую сторону, высота и ширина в 2 раза больше необходимой
108     let mut new_chromosome: Solution =
109         vec![(usize::MAX, usize::MAX); 2 * img_width * 2 * img_height];
110
111     // Текущие грани построенного изображения
112     let (mut min_r, mut max_r, mut min_c, mut max_c) =
113         (img_height, img_height, img_width, img_width);
114     // Флаг, обозначающий необходимость добавления начальной детали в центр
115     let mut start_flag = true;
116     // Пока есть свободные позиции
117     while start_flag
118     {
119         || !free_positions_phase_1.is_empty()
120         || !free_positions_phase_2.is_empty()
121         || !free_positions_phase_3.is_empty()
122         || !free_positions_not_in_phase_1.is_empty()
123         || !free_positions_unknown.is_empty()
124     {
125         // Выбираемая на данной итерации позиция и деталь
126         let mut selected_pos = None;
127         let mut selected_piece = None;
128
129         // Начальная деталь
130         if start_flag {
131             start_flag = false;
132             selected_pos = Some((img_height, img_width));
133             selected_piece = Some(start_piece);
134         }
135
136         // Фаза 1 (у обоих предков одинаковая деталь в определённом направлении от позиции)
137         if selected_pos.is_none() {
138             // Обработка нерассмотренных свободных позиций
139             let tmp = free_positions_unknown.iter().map(|(pos_r, pos_c)| {
140                 let (pos_r, pos_c) = (*pos_r, *pos_c);
141                 assert!(new_chromosome[pos_r * 2 * img_width + pos_c].0 == usize::MAX);

```

```

141
142 // Обработка детали слева
143 if pos_c != 0 {
144     // Деталь слева в новой хромосоме
145     let (left_piece_r, left_piece_c) =
146         new_chromosome[pos_r * 2 * img_width + pos_c - 1];
147     if left_piece_r != usize::MAX {
148         // Положение этой детали в предках
149         let (pos_1_r, pos_1_c) =
150             pos_in_chromosome_1[left_piece_r * img_width + left_piece_c];
151         let (pos_2_r, pos_2_c) =
152             pos_in_chromosome_2[left_piece_r * img_width + left_piece_c];
153         // Если справа от левой детали в обоих предках одна и та же свободная деталь, то
154         ↪ выбираем её
155         if pos_1_c != img_width - 1
156             && pos_2_c != img_width - 1
157             && chromosome_1[pos_1_r * img_width + pos_1_c + 1]
158                 == chromosome_2[pos_2_r * img_width + pos_2_c + 1]
159             && free_pieces
160                 .contains(&chromosome_1[pos_1_r * img_width + pos_1_c + 1])
161         {
162             return Ok((
163                 (pos_r, pos_c),
164                 chromosome_1[pos_1_r * img_width + pos_1_c + 1],
165             ));
166         }
167     }
168     // Обработка детали справа
169     if pos_c != 2 * img_width - 1 {
170         // Деталь справа в новой хромосоме
171         let (right_piece_r, right_piece_c) =
172             new_chromosome[pos_r * 2 * img_width + pos_c + 1];
173         if right_piece_r != usize::MAX {
174             // Положение этой детали в предках
175             let (pos_1_r, pos_1_c) =
176                 pos_in_chromosome_1[right_piece_r * img_width + right_piece_c];
177             let (pos_2_r, pos_2_c) =
178                 pos_in_chromosome_2[right_piece_r * img_width + right_piece_c];
179             // Если слева от правой детали в обоих предках одна и та же свободная деталь, то
180             ↪ выбираем её
181             if pos_1_c != 0
182                 && pos_2_c != 0
183                 && chromosome_1[pos_1_r * img_width + pos_1_c - 1]
184                     == chromosome_2[pos_2_r * img_width + pos_2_c - 1]
185                 && free_pieces
186                     .contains(&chromosome_1[pos_1_r * img_width + pos_1_c - 1])
187         {

```

```

187         return Ok((
188             (pos_r, pos_c),
189             chromosome_1[pos_1_r * img_width + pos_1_c - 1],
190         ));
191     }
192 }
193 }
194 // Обработка детали сверху
195 if pos_r != 0 {
196     // Деталь сверху в новой хромосоме
197     let (up_piece_r, up_piece_c) =
198         new_chromosome[(pos_r - 1) * 2 * img_width + pos_c];
199     if up_piece_r != usize::MAX {
200         // Положение этой детали в предках
201         let (pos_1_r, pos_1_c) =
202             pos_in_chromosome_1[up_piece_r * img_width + up_piece_c];
203         let (pos_2_r, pos_2_c) =
204             pos_in_chromosome_2[up_piece_r * img_width + up_piece_c];
205         // Если снизу от верхней детали в обоих предках одна и та же свободная деталь,
↪ то выбираем её
206         if pos_1_r != img_height - 1
207             && pos_2_r != img_height - 1
208             && chromosome_1[(pos_1_r + 1) * img_width + pos_1_c]
209                 == chromosome_2[(pos_2_r + 1) * img_width + pos_2_c]
210             && free_pieces
211                 .contains(&chromosome_1[(pos_1_r + 1) * img_width + pos_1_c])
212         {
213             return Ok((
214                 (pos_r, pos_c),
215                 chromosome_1[(pos_1_r + 1) * img_width + pos_1_c],
216             ));
217         }
218     }
219 }
220 // Обработка детали снизу
221 if pos_r != 2 * img_height - 1 {
222     // Деталь снизу в новой хромосоме
223     let (down_piece_r, down_piece_c) =
224         new_chromosome[(pos_r + 1) * 2 * img_width + pos_c];
225     if down_piece_r != usize::MAX {
226         // Положение этой детали в предках
227         let (pos_1_r, pos_1_c) =
228             pos_in_chromosome_1[down_piece_r * img_width + down_piece_c];
229         let (pos_2_r, pos_2_c) =
230             pos_in_chromosome_2[down_piece_r * img_width + down_piece_c];
231         // Если сверху от нижней детали в обоих предках одна и та же свободная деталь,
↪ то выбираем её
232         if pos_1_r != 0

```

```

233         && pos_2_r != 0
234         && chromosome_1[(pos_1_r - 1) * img_width + pos_1_c]
235         == chromosome_2[(pos_2_r - 1) * img_width + pos_2_c]
236         && free_pieces
237         .contains(&chromosome_1[(pos_1_r - 1) * img_width + pos_1_c])
238     {
239         return Ok((
240             (pos_r, pos_c),
241             chromosome_1[(pos_1_r - 1) * img_width + pos_1_c],
242         ));
243     }
244 }
245 }
246 // Позиция не подходит для фазы 1
247 Err((pos_r, pos_c))
248 });
249
250 for res in tmp {
251     match res {
252         // Если позиция подходит для фазы 1, то добавление её
253         // в список позиций фазы 1 и соответствие деталей позициям фазы 1
254         Ok((pos, piece)) => {
255             if let Some(v) = piece_to_pos_phase_1.get_mut(&piece) {
256                 v.push(pos);
257             } else {
258                 piece_to_pos_phase_1.insert(piece, vec![pos]);
259             }
260             assert!(free_positions_phase_1.insert(pos, piece).is_none());
261         }
262         // Если не подходит, то добавление позиции в список не подходящих для фазы 1
263         // и тех, которые должны быть рассмотрены в фазе 2 или 3
264         Err(pos) => {
265             bad_positions_phase_1[pos.0 * 2 * img_width + pos.1] = true;
266             free_positions_not_in_phase_1.insert(pos);
267         }
268     }
269 }
270 // Нерассмотренных позиций нет
271 free_positions_unknown.clear();
272
273 // Если есть хотя бы одна подходящая позиция
274 if !free_positions_phase_1.is_empty() {
275     // Выбор случайной позиции
276     let ind = rng.gen_range(0..free_positions_phase_1.len());
277     let (pos, mut piece) = free_positions_phase_1.get_index(ind).unwrap();
278
279     // С небольшой вероятностью происходит мутация: выбирается случайная деталь
280     if rng.gen_range(0.0f32..1.0) <= MUTATION_RATE_1 {

```

```

281         let ind = rng.gen_range(0..free_pieces.len());
282         piece = free_pieces.get_index(ind).unwrap();
283     }
284
285     assert!(new_chromosome[pos.0 * 2 * img_width + pos.1].0 == usize::MAX);
286     assert!(free_pieces.contains(piece));
287     // Позиция и деталь на данной итерации выбраны
288     selected_pos = Some(*pos);
289     selected_piece = Some(*piece);
290 }
291 }
292
293 // Фаза 2 (две детали являются "лучшими друзьями" друг друга)
294 if selected_pos.is_none() {
295     // Обработка свободных позиций, не подходящих для фазы 1
296     let tmp = free_positions_not_in_phase_1.iter().map(|(pos_r, pos_c)| {
297         let (pos_r, pos_c) = (*pos_r, *pos_c);
298         assert!(new_chromosome[pos_r * 2 * img_width + pos_c].0 == usize::MAX);
299
300         // Обработка детали слева
301         if pos_c != 0 {
302             // Деталь слева в новой хромосоме
303             let (left_piece_r, left_piece_c) =
304                 new_chromosome[pos_r * 2 * img_width + pos_c - 1];
305             if left_piece_r != usize::MAX {
306                 // "Лучший друг" этой детали
307                 let best_buddy = pieces_buddies[0][left_piece_r * img_width + left_piece_c];
308                 // Положение левой детали в предках
309                 let (pos_1_r, pos_1_c) =
310                     pos_in_chromosome_1[left_piece_r * img_width + left_piece_c];
311                 let (pos_2_r, pos_2_c) =
312                     pos_in_chromosome_2[left_piece_r * img_width + left_piece_c];
313                 // Если найденный "лучший друг" также считает левую деталь "лучшим
314                 ↪ другом",
315                 // и справа от левой детали хотя бы в одном из предков есть этот "лучший
316                 ↪ друг",
317                 // и он свободен, то выбираем его
318                 if pieces_buddies[2][best_buddy.0 * img_width + best_buddy.1]
319                     == (left_piece_r, left_piece_c)
320                     && ((pos_1_c != img_width - 1
321                         && chromosome_1[pos_1_r * img_width + pos_1_c + 1] == best_buddy)
322                         || (pos_2_c != img_width - 1
323                             && chromosome_2[pos_2_r * img_width + pos_2_c + 1]
324                             == best_buddy))
325                     && free_pieces.contains(&best_buddy)
326                 {
327                     return Ok((pos_r, pos_c), best_buddy);
328                 }
329             }
330         }
331     });
332     if let Some((pos_r, pos_c), best_buddy) = tmp.next() {
333         selected_pos = Some((pos_r, pos_c));
334         selected_piece = Some(*best_buddy);
335     }
336 }

```

```

327     }
328 }
329 // Обработка детали справа
330 if pos_c != 2 * img_width - 1 {
331     // Деталь справа в новой хромосоме
332     let (right_piece_r, right_piece_c) =
333         new_chromosome[pos_r * 2 * img_width + pos_c + 1];
334     if right_piece_r != usize::MAX {
335         // "Лучший друг" этой детали
336         let best_buddy =
337             pieces_buddies[2][right_piece_r * img_width + right_piece_c];
338         // Положение правой детали в предках
339         let (pos_1_r, pos_1_c) =
340             pos_in_chromosome_1[right_piece_r * img_width + right_piece_c];
341         let (pos_2_r, pos_2_c) =
342             pos_in_chromosome_2[right_piece_r * img_width + right_piece_c];
343         // Если найденный "лучший друг" также считает правую деталь "лучшим
↪ другом",
344         // и слева от правой детали хотя бы в одном из предков есть этот "лучший
↪ друг",
345         // и он свободен, то выбираем его
346         if pieces_buddies[0][best_buddy.0 * img_width + best_buddy.1]
347             == (right_piece_r, right_piece_c)
348             && ((pos_1_c != 0
349                 && chromosome_1[pos_1_r * img_width + pos_1_c - 1] == best_buddy)
350                 || (pos_2_c != 0
351                     && chromosome_2[pos_2_r * img_width + pos_2_c - 1]
352                     == best_buddy))
353             && free_pieces.contains(&best_buddy)
354         {
355             return Ok((pos_r, pos_c), best_buddy);
356         }
357     }
358 }
359 // Обработка детали сверху
360 if pos_r != 0 {
361     // Деталь сверху в новой хромосоме
362     let (up_piece_r, up_piece_c) =
363         new_chromosome[(pos_r - 1) * 2 * img_width + pos_c];
364     if up_piece_r != usize::MAX {
365         // "Лучший друг" этой детали
366         let best_buddy = pieces_buddies[1][up_piece_r * img_width + up_piece_c];
367         // Положение верхней детали в предках
368         let (pos_1_r, pos_1_c) =
369             pos_in_chromosome_1[up_piece_r * img_width + up_piece_c];
370         let (pos_2_r, pos_2_c) =
371             pos_in_chromosome_2[up_piece_r * img_width + up_piece_c];

```

```

372      // Если найденный "лучший друг" также считает верхнюю деталь "лучшим
↪ другом",
373      // и снизу от верхней детали хотя бы в одном из предков есть этот "лучший
↪ друг",
374      // и он свободен, то выбираем его
375      if pieces_buddies[3][best_buddy.0 * img_width + best_buddy.1]
376      == (up_piece_r, up_piece_c)
377      && ((pos_1_r != img_height - 1
378          && chromosome_1[(pos_1_r + 1) * img_width + pos_1_c] == best_buddy)
379          || (pos_2_r != img_height - 1
380              && chromosome_2[(pos_2_r + 1) * img_width + pos_2_c]
381                  == best_buddy))
382      && free_pieces.contains(&best_buddy)
383      {
384          return Ok((pos_r, pos_c), best_buddy);
385      }
386  }
387  }
388  // Обработка детали снизу
389  if pos_r != 2 * img_height - 1 {
390      // Деталь снизу в новой хромосоме
391      let (down_piece_r, down_piece_c) =
392          new_chromosome[(pos_r + 1) * 2 * img_width + pos_c];
393      if down_piece_r != usize::MAX {
394          // "Лучший друг" этой детали
395          let best_buddy = pieces_buddies[3][down_piece_r * img_width + down_piece_c];
396          // Положение нижней детали в предках
397          let (pos_1_r, pos_1_c) =
398              pos_in_chromosome_1[down_piece_r * img_width + down_piece_c];
399          let (pos_2_r, pos_2_c) =
400              pos_in_chromosome_2[down_piece_r * img_width + down_piece_c];
401          // Если найденный "лучший друг" также считает нижнюю деталь "лучшим
↪ другом",
402          // и сверху от нижней детали хотя бы в одном из предков есть этот "лучший
↪ друг",
403          // и он свободен, то выбираем его
404          if pieces_buddies[1][best_buddy.0 * img_width + best_buddy.1]
405          == (down_piece_r, down_piece_c)
406          && ((pos_1_r != 0
407              && chromosome_1[(pos_1_r - 1) * img_width + pos_1_c] == best_buddy)
408              || (pos_2_r != 0
409                  && chromosome_2[(pos_2_r - 1) * img_width + pos_2_c]
410                      == best_buddy))
411          && free_pieces.contains(&best_buddy)
412          {
413              return Ok((pos_r, pos_c), best_buddy);
414          }
415      }

```



```

416     }
417     // Позиция не подходит для фазы 2
418     Err((pos_r, pos_c))
419 });
420
421 for res in tmp {
422     match res {
423         // Если позиция подходит для фазы 2, то добавление её
424         // в список позиций фазы 2 и соответствие деталей позициям фазы 2
425         Ok((pos, piece)) => {
426             if let Some(v) = piece_to_pos_phase_2.get_mut(&piece) {
427                 v.push(pos);
428             } else {
429                 piece_to_pos_phase_2.insert(piece, vec![pos]);
430             }
431             assert!(free_positions_phase_2.insert(pos, piece).is_none());
432         }
433         // Если не подходит, то добавление позиции в список не подходящих для фазы 2
434         // и подходящих для фазы 3
435         Err(pos) => {
436             bad_positions_phase_2[pos.0 * 2 * img_width + pos.1] = true;
437             free_positions_phase_3.insert(pos);
438         }
439     }
440 }
441 // Нерассмотренных позиций нет
442 free_positions_not_in_phase_1.clear();
443
444 // Если есть хотя бы одна подходящая позиция
445 if !free_positions_phase_2.is_empty() {
446     // Выбор случайной позиции
447     let ind = rng.gen_range(0..free_positions_phase_2.len());
448     let (pos, piece) = free_positions_phase_2.get_index(ind).unwrap();
449
450     assert!(new_chromosome[pos.0 * 2 * img_width + pos.1].0 == usize::MAX);
451     assert!(free_pieces.contains(piece));
452     // Позиция и деталь на данной итерации выбраны
453     selected_pos = Some(*pos);
454     selected_piece = Some(*piece);
455 }
456 }
457
458 // Фаза 3 (наиболее подходящая деталь для позиции)
459 if selected_pos.is_none() {
460     assert!(!free_positions_phase_3.is_empty());
461     assert!(!free_pieces.is_empty());
462
463     // Выбор случайной позиции

```

```

464 let ind = rng.gen_range(0..free_positions_phase_3.len());
465 let (pos_r, pos_c) = *free_positions_phase_3.get_index(ind).unwrap();
466
467 // Наиболее подходящая деталь
468 let mut best_piece = (usize::MAX, usize::MAX);
469 // С небольшой вероятностью происходит мутация: выбирается случайная деталь
470 if rng.gen_range(0.0f32..1.0) <= MUTATION_RATE_3 {
471     let ind = rng.gen_range(0..free_pieces.len());
472     best_piece = *free_pieces.get_index(ind).unwrap();
473 } else {
474     // Деталь слева в новой хромосоме
475     let (left_piece_r, left_piece_c) = if pos_c == 0 {
476         (usize::MAX, usize::MAX)
477     } else {
478         new_chromosome[pos_r * 2 * img_width + pos_c - 1]
479     };
480     // Деталь справа в новой хромосоме
481     let (right_piece_r, right_piece_c) = if pos_c == 2 * img_width - 1 {
482         (usize::MAX, usize::MAX)
483     } else {
484         new_chromosome[pos_r * 2 * img_width + pos_c + 1]
485     };
486     // Деталь сверху в новой хромосоме
487     let (up_piece_r, up_piece_c) = if pos_r == 0 {
488         (usize::MAX, usize::MAX)
489     } else {
490         new_chromosome[(pos_r - 1) * 2 * img_width + pos_c]
491     };
492     // Деталь снизу в новой хромосоме
493     let (down_piece_r, down_piece_c) = if pos_r == 2 * img_height - 1 {
494         (usize::MAX, usize::MAX)
495     } else {
496         new_chromosome[(pos_r + 1) * 2 * img_width + pos_c]
497     };
498
499     // Наименьшая несовместимость
500     let mut best_compatibility = f32::INFINITY;
501     // "Лучшие приятели"
502     let mut buddies = Vec::new();
503     if left_piece_r != usize::MAX {
504         buddies.push(pieces_buddies[0][left_piece_r * img_width + left_piece_c]);
505     }
506     if right_piece_r != usize::MAX {
507         buddies.push(pieces_buddies[2][right_piece_r * img_width + right_piece_c]);
508     }
509     if up_piece_r != usize::MAX {
510         buddies.push(pieces_buddies[1][up_piece_r * img_width + up_piece_c]);
511     }

```

```

512     if down_piece_r != usize::MAX {
513         buddies.push(pieces_buddies[3][down_piece_r * img_width + down_piece_c]);
514     }
515     let buddies = buddies.iter().filter(|piece| free_pieces.contains(*piece));
516
517     // Обработка всех свободных деталей
518     for (piece_r, piece_c) in buddies.chain(free_pieces.iter()) {
519         // Несовместимость
520         let mut res = 0.0f32;
521         // Обработка детали слева
522         if left_piece_r != usize::MAX {
523             res += pieces_compatibility[0][left_piece_r * img_width + left_piece_c]
524                 [piece_r * img_width + piece_c];
525             if res >= best_compatibility {
526                 continue;
527             }
528         }
529         // Обработка детали справа
530         if right_piece_r != usize::MAX {
531             res += pieces_compatibility[0][piece_r * img_width + piece_c]
532                 [right_piece_r * img_width + right_piece_c];
533             if res >= best_compatibility {
534                 continue;
535             }
536         }
537         // Обработка детали сверху
538         if up_piece_r != usize::MAX {
539             res += pieces_compatibility[1][up_piece_r * img_width + up_piece_c]
540                 [piece_r * img_width + piece_c];
541             if res >= best_compatibility {
542                 continue;
543             }
544         }
545         // Обработка детали снизу
546         if down_piece_r != usize::MAX {
547             res += pieces_compatibility[1][piece_r * img_width + piece_c]
548                 [down_piece_r * img_width + down_piece_c];
549             if res >= best_compatibility {
550                 continue;
551             }
552         }
553
554         // Обновление наименее несовместимой детали
555         best_piece = (*piece_r, *piece_c);
556         best_compatibility = res;
557     }
558 }
559

```

```

560     assert!(new_chromosome[pos_r * 2 * img_width + pos_c].0 == usize::MAX);
561     assert!(free_pieces.contains(&best_piece));
562     // Позиция и деталь на данной итерации выбраны
563     selected_pos = Some((pos_r, pos_c));
564     selected_piece = Some(best_piece);
565 }
566
567 // Выбранные позиция и деталь
568 let selected_pos = selected_pos.unwrap();
569 let selected_piece = selected_piece.unwrap();
570 let (selected_pos_r, selected_pos_c) = selected_pos;
571 // Установка детали в новой хромосоме
572 new_chromosome[selected_pos_r * 2 * img_width + selected_pos_c] = selected_piece;
573 // Удаление позиции из списков свободных позиций
574 free_positions_phase_1.remove(&selected_pos);
575 free_positions_phase_2.remove(&selected_pos);
576 free_positions_phase_3.remove(&selected_pos);
577 free_positions_unknown.remove(&selected_pos);
578 // Удаление детали из списка свободных
579 free_pieces.remove(&selected_piece);
580 // Если выбранной детали соответствуют позиции в фазе 1, то нужно рассмотреть их заново
581 if let Some(v) = piece_to_pos_phase_1.get(&selected_piece) {
582     for pos in v {
583         if free_positions_phase_1.contains_key(pos) {
584             free_positions_phase_1.remove(pos);
585             free_positions_phase_3.remove(pos);
586             free_positions_not_in_phase_1.remove(pos);
587             bad_positions_phase_1[pos.0 * 2 * img_width + pos.1] = false;
588             bad_positions_phase_2[pos.0 * 2 * img_width + pos.1] = false;
589             if new_chromosome[pos.0 * 2 * img_width + pos.1].0 == usize::MAX {
590                 free_positions_unknown.insert(*pos);
591             }
592         }
593     }
594     piece_to_pos_phase_1.remove(&selected_piece);
595 }
596 // Если выбранной детали соответствуют позиции в фазе 2, то нужно рассмотреть их заново
597 if let Some(v) = piece_to_pos_phase_2.get(&selected_piece) {
598     for pos in v {
599         if free_positions_phase_2.contains_key(pos) {
600             free_positions_phase_2.remove(pos);
601             free_positions_phase_3.remove(pos);
602             free_positions_not_in_phase_1.remove(pos);
603             bad_positions_phase_1[pos.0 * 2 * img_width + pos.1] = false;
604             bad_positions_phase_2[pos.0 * 2 * img_width + pos.1] = false;
605             if new_chromosome[pos.0 * 2 * img_width + pos.1].0 == usize::MAX {
606                 free_positions_unknown.insert(*pos);
607             }

```

```

608     }
609 }
610 piece_to_pos_phase_2.remove(&selected_piece);
611 }
612
613 // Обновление верхней границы
614 if selected_pos_r < min_r {
615     min_r = selected_pos_r;
616     // Если достигнута полная высота изображения, удалить все позиции, выходящие за
↪ границы
617     if 1 + max_r - min_r == img_height {
618         for c in 0..(2 * img_width) {
619             if min_r >= 1 {
620                 free_positions_phase_1.remove(&(min_r - 1, c));
621                 free_positions_phase_2.remove(&(min_r - 1, c));
622                 free_positions_phase_3.remove(&(min_r - 1, c));
623                 free_positions_not_in_phase_1.remove(&(min_r - 1, c));
624                 free_positions_unknown.remove(&(min_r - 1, c));
625                 bad_positions_phase_1[(min_r - 1) * 2 * img_width + c] = false;
626                 bad_positions_phase_2[(min_r - 1) * 2 * img_width + c] = false;
627             }
628
629             if max_r + 1 < 2 * img_height {
630                 free_positions_phase_1.remove(&(max_r + 1, c));
631                 free_positions_phase_2.remove(&(max_r + 1, c));
632                 free_positions_phase_3.remove(&(max_r + 1, c));
633                 free_positions_not_in_phase_1.remove(&(max_r + 1, c));
634                 free_positions_unknown.remove(&(max_r + 1, c));
635                 bad_positions_phase_1[(max_r + 1) * 2 * img_width + c] = false;
636                 bad_positions_phase_2[(max_r + 1) * 2 * img_width + c] = false;
637             }
638         }
639     }
640 }
641 // Обновление нижней границы
642 else if selected_pos_r > max_r {
643     max_r = selected_pos_r;
644     // Если достигнута полная высота изображения, удалить все позиции, выходящие за
↪ границы
645     if 1 + max_r - min_r == img_height {
646         for c in 0..(2 * img_width) {
647             if min_r >= 1 {
648                 free_positions_phase_1.remove(&(min_r - 1, c));
649                 free_positions_phase_2.remove(&(min_r - 1, c));
650                 free_positions_phase_3.remove(&(min_r - 1, c));
651                 free_positions_not_in_phase_1.remove(&(min_r - 1, c));
652                 free_positions_unknown.remove(&(min_r - 1, c));
653                 bad_positions_phase_1[(min_r - 1) * 2 * img_width + c] = false;

```

```

654         bad_positions_phase_2[(min_r - 1) * 2 * img_width + c] = false;
655     }
656
657     if max_r + 1 < 2 * img_height {
658         free_positions_phase_1.remove(&(max_r + 1, c));
659         free_positions_phase_2.remove(&(max_r + 1, c));
660         free_positions_phase_3.remove(&(max_r + 1, c));
661         free_positions_not_in_phase_1.remove(&(max_r + 1, c));
662         free_positions_unknown.remove(&(max_r + 1, c));
663         bad_positions_phase_1[(max_r + 1) * 2 * img_width + c] = false;
664         bad_positions_phase_2[(max_r + 1) * 2 * img_width + c] = false;
665     }
666 }
667 }
668 }
669 // Обновление левой границы
670 if selected_pos_c < min_c {
671     min_c = selected_pos_c;
672     // Если достигнута полная ширина изображения, удалить все позиции, выходящие за
↪ границы
673     if 1 + max_c - min_c == img_width {
674         for r in 0..(2 * img_height) {
675             if min_c >= 1 {
676                 free_positions_phase_1.remove(&(r, min_c - 1));
677                 free_positions_phase_2.remove(&(r, min_c - 1));
678                 free_positions_phase_3.remove(&(r, min_c - 1));
679                 free_positions_not_in_phase_1.remove(&(r, min_c - 1));
680                 free_positions_unknown.remove(&(r, min_c - 1));
681                 bad_positions_phase_1[r * 2 * img_width + min_c - 1] = false;
682                 bad_positions_phase_2[r * 2 * img_width + min_c - 1] = false;
683             }
684
685             if max_c + 1 < 2 * img_width {
686                 free_positions_phase_1.remove(&(r, max_c + 1));
687                 free_positions_phase_2.remove(&(r, max_c + 1));
688                 free_positions_phase_3.remove(&(r, max_c + 1));
689                 free_positions_not_in_phase_1.remove(&(r, max_c + 1));
690                 free_positions_unknown.remove(&(r, max_c + 1));
691                 bad_positions_phase_1[r * 2 * img_width + max_c + 1] = false;
692                 bad_positions_phase_2[r * 2 * img_width + max_c + 1] = false;
693             }
694         }
695     }
696 }
697 // Обновление правой границы
698 else if selected_pos_c > max_c {
699     max_c = selected_pos_c;

```

```

700      // Если достигнута полная ширина изображения, удалить все позиции, выходящие за
↪ границы
701      if 1 + max_c - min_c == img_width {
702          for r in 0..(2 * img_height) {
703              if min_c >= 1 {
704                  free_positions_phase_1.remove(&(r, min_c - 1));
705                  free_positions_phase_2.remove(&(r, min_c - 1));
706                  free_positions_phase_3.remove(&(r, min_c - 1));
707                  free_positions_not_in_phase_1.remove(&(r, min_c - 1));
708                  free_positions_unknown.remove(&(r, min_c - 1));
709                  bad_positions_phase_1[r * 2 * img_width + min_c - 1] = false;
710                  bad_positions_phase_2[r * 2 * img_width + min_c - 1] = false;
711              }
712
713              if max_c + 1 < 2 * img_width {
714                  free_positions_phase_1.remove(&(r, max_c + 1));
715                  free_positions_phase_2.remove(&(r, max_c + 1));
716                  free_positions_phase_3.remove(&(r, max_c + 1));
717                  free_positions_not_in_phase_1.remove(&(r, max_c + 1));
718                  free_positions_unknown.remove(&(r, max_c + 1));
719                  bad_positions_phase_1[r * 2 * img_width + max_c + 1] = false;
720                  bad_positions_phase_2[r * 2 * img_width + max_c + 1] = false;
721              }
722          }
723      }
724  }
725
726  // Обработка позиций сверху и снизу от выбранной
727  for dr in [-1isize, 1] {
728      let new_r = ((selected_pos_r as isize) + dr) as usize;
729      if 1 + max(max_r, new_r) - min(min_r, new_r) > img_height {
730          continue;
731      }
732      // Если позиция свободна и не подходит для фазы 1 или 2 (нет в списках подходящих для
↪ этих фаз
733      // или уже была рассмотрена и оказалась неподходящей), то добавить её к рассмотрению,
734      // удалив из всех списков рассмотренных позиций
735      if new_chromosome[new_r * 2 * img_width + selected_pos_c].0 == usize::MAX
736          && (!free_positions_phase_1.contains_key(&(new_r, selected_pos_c))
737              && !free_positions_phase_2.contains_key(&(new_r, selected_pos_c)))
738          || bad_positions_phase_1[new_r * 2 * img_width + selected_pos_c]
739          || bad_positions_phase_2[new_r * 2 * img_width + selected_pos_c]
740      {
741          free_positions_phase_1.remove(&(new_r, selected_pos_c));
742          free_positions_phase_2.remove(&(new_r, selected_pos_c));
743          free_positions_phase_3.remove(&(new_r, selected_pos_c));
744          free_positions_not_in_phase_1.remove(&(new_r, selected_pos_c));
745          bad_positions_phase_1[new_r * 2 * img_width + selected_pos_c] = false;

```

```

746     bad_positions_phase_2[new_r * 2 * img_width + selected_pos_c] = false;
747     free_positions_unknown.insert((new_r, selected_pos_c));
748 }
749 }
750 // Обработка позиций слева и справа от выбранной
751 for dc in [-1isize, 1] {
752     let new_c = ((selected_pos_c as isize) + dc) as usize;
753     if 1 + max(max_c, new_c) - min(min_c, new_c) > img_width {
754         continue;
755     }
756     // Если позиция свободна и не подходит для фазы 1 или 2 (нет в списках подходящих для
↪ этих фаз
757     // или уже была рассмотрена и оказалась неподходящей), то добавить её к рассмотрению,
758     // удалив из всех списков рассмотренных позиций
759     if new_chromosome[selected_pos_r * 2 * img_width + new_c].0 == usize::MAX
760         && (!free_positions_phase_1.contains_key(&(selected_pos_r, new_c))
761             && !free_positions_phase_2.contains_key(&(selected_pos_r, new_c)))
762         || bad_positions_phase_1[selected_pos_r * 2 * img_width + new_c]
763         || bad_positions_phase_2[selected_pos_r * 2 * img_width + new_c])
764     {
765         free_positions_phase_1.remove(&(selected_pos_r, new_c));
766         free_positions_phase_2.remove(&(selected_pos_r, new_c));
767         free_positions_phase_3.remove(&(selected_pos_r, new_c));
768         free_positions_not_in_phase_1.remove(&(selected_pos_r, new_c));
769         bad_positions_phase_1[selected_pos_r * 2 * img_width + new_c] = false;
770         bad_positions_phase_2[selected_pos_r * 2 * img_width + new_c] = false;
771         free_positions_unknown.insert((selected_pos_r, new_c));
772     }
773 }
774 }
775
776 assert!(free_pieces.is_empty());
777 assert_eq!(1 + max_r - min_r, img_height);
778 assert_eq!(1 + max_c - min_c, img_width);
779 // Вырезание результата из новой хромосомы
780 (min_r..=max_r)
781     .flat_map(|r| {
782         (min_c..=max_c)
783             .map(|c| new_chromosome[r * 2 * img_width + c])
784             .collect::// Шаг алгоритма
790 pub fn algorithm_step(
791     population_size: usize,
792     rng: &mut Xoshiro256PlusPlus,

```



```

793     img_width: usize,
794     img_height: usize,
795     image_generations_processed: usize,
796     pieces_compatibility: &[Vec<Vec<f32>>; 2],
797     pieces_buddies: &[Vec<(usize, usize)>; 4],
798     current_generation: &[Solution],
799 ) -> Vec<Solution> {
800     // Создание нового поколения
801     let mut new_generation: Vec<Solution> = if image_generations_processed == 0 {
802         (0..population_size)
803             .map(|_| generate_random_solution(img_width, img_height, rng))
804             .collect()
805     } else {
806         // Отбор лучших хромосом
807         let mut best_chromosomes: Vec<_> = current_generation
808             .iter()
809             .take(ELITISM_COUNT)
810             .cloned()
811             .collect();
812
813         let indexes: Vec<usize> = (0..population_size).collect();
814         // Оценки хромосом текущего поколения
815         let curr_gen_compatibilities: Vec<_> = current_generation
816             .iter()
817             .map(|chromosome| {
818                 solution_compatibility(img_width, img_height, pieces_compatibility, chromosome)
819             })
820             .collect();
821         // Наименьшая оценка
822         let min_compatibility = curr_gen_compatibilities
823             .iter()
824             .cloned()
825             .reduce(f32::min)
826             .unwrap();
827         // Наибольшая оценка
828         let max_compatibility = curr_gen_compatibilities
829             .iter()
830             .cloned()
831             .reduce(f32::max)
832             .unwrap();
833         // Разность оценок
834         let diff_compatibility = if min_compatibility == max_compatibility {
835             1.0
836         } else {
837             max_compatibility - min_compatibility
838         };
839
840         // Выбранные для скрещивания предки

```

```

841 let parents: Vec<_> = (0..(population_size - ELITISM_COUNT))
842   .map(|_| {
843     let mut iter = indexes
844       .choose_multiple_weighted(rng, 2, |i| {
845         (-(curr_gen_compatibilities[*i] - min_compatibility) / diff_compatibility)
846         * 0.9
847         + 0.95
848       })
849     .unwrap();
850     (*iter.next().unwrap(), *iter.next().unwrap())
851   })
852   .collect();
853 // Генераторы случайных чисел для каждого скрещивания
854 let rngs: Vec<_> = (0..(population_size - ELITISM_COUNT))
855   .map(|_| {
856     let tmp = rng.clone();
857     rng.jump();
858     tmp
859   })
860   .collect();
861 // Получение нового поколения скрещиванием
862 let mut other_chromosomes: Vec<_> = parents
863   .into_par_iter()
864   .zip(rngs.into_par_iter())
865   .map(|((i, j), rng)| {
866     chromosomes_crossover(
867       img_width,
868       img_height,
869       pieces_compatibility,
870       pieces_buddies,
871       &current_generation[i],
872       &current_generation[j],
873       rng,
874     )
875   })
876   .collect();
877
878 // Объединение
879 best_chromosomes.append(&mut other_chromosomes);
880 best_chromosomes
881 };
882 // Сортировка хромосом по возрастанию оценки
883 new_generation.sort_by_cached_key(|chromosome| {
884   FloatOrd(solution_compatibility(
885     img_width,
886     img_height,
887     pieces_compatibility,
888     chromosome,

```

```
889     ))
890   });
891   new_generation
892 }
```

ПРИЛОЖЕНИЕ Г

Программный код алгоритма циклических ограничений

```
1  // Матрица - двумерный массив, в каждой позиции которого находится деталь (пара из строки и
   ↪ столбца)
2  type Matrix = Vec<Vec<(usize, usize)>>>;
3  // Приоритет матрицы - количество непустых позиций (со знаком минус) и значение
   ↪ совместимости между деталями
4  type MatrixPriority = (isize, FloatOrd<f32>);
5
6  // Совместимость матриц
7  enum MatrixCompatibility {
8      // Совместимы: сдвиг между общими деталями, приоритет объединённой матрицы
9      Compatible(isize, isize, MatrixPriority),
10     // Не совместимы (есть геометрический конфликт)
11     Incompatible,
12     // Не связаны друг с другом (не более одной общей детали)
13     NotRelated,
14 }
15
16 // Соотношение несовместимости, при котором две детали считаются парой-кандидатом
17 const CANDIDATE_MATCH_RATIO: f32 = 1.15;
18 // Соотношение несовместимости для отсеечения одинаковых деталей
19 const CANDIDATE_MATCH_RATIO_EQUAL: f32 = 1.0001;
20 // Максимальное количество пар-кандидатов, которое может образовывать одна деталь в одном
   ↪ направлении
21 const MAX_CANDIDATES: usize = 10;
22 // То же, но для одинаковых деталей
23 const MAX_CANDIDATES_EQUAL: usize = 7;
24 // Соотношение деталей к пустым позициям в строке/столбце, при котором она/он вырезается
25 const TRIM_RATE: f32 = 0.1;
26
27 // Нахождение пар-кандидатов
28 pub fn find_match_candidates(
29     img_width: usize,
30     pieces_compatibility: &[Vec<Vec<f32>>]; 2],
31 ) -> [Vec<Vec<(usize, usize)>>]; 2] {
32     // Нахождение пар-кандидатов, в которых вторая деталь справа или снизу
33     let get_candidates = |ind: isize| {
34         // Минимальные значения несовместимости для каждой детали в заданном направлении
35         let min_scores = pieces_compatibility[ind]
36             .par_iter()
37             .enumerate()
38             .map(|(i, v)| {
39                 v.iter()
40                     .enumerate()
41                     .filter(|(j, _)| i != *j)
42                     .reduce(|x, y| if x.1 <= y.1 { x } else { y })
```

```

43         .map(|(_, x)| *x)
44         .unwrap()
45     })
46     .collect::// Нахождение пар-кандидатов для каждой детали
48     pieces_compatibility[ind]
49         .par_iter()
50         .zip(min_scores)
51         .enumerate()
52         .map(|(i, (v, min_score))| {
53             // Все детали, для которых соотношение несовместимости не больше порога
54             let mut tmp: Vec<_> = v
55                 .iter()
56                 .enumerate()
57                 .filter(|(j, x)| i != *j && **x <= CANDIDATE_MATCH_RATIO * min_score)
58                 .collect();
59             // Выбор лучших пар с количеством не больше заданного порога
60             tmp.sort_by_key(|x| FloatOrd(*x.1));
61             tmp.into_iter()
62                 .take(MAX_CANDIDATES)
63                 .enumerate()
64                 .filter_map(|(ind, x)| {
65                     if ind < MAX_CANDIDATES_EQUAL
66                         || *x.1 > CANDIDATE_MATCH_RATIO_EQUAL * min_score
67                     {
68                         Some(x)
69                     } else {
70                         None
71                     }
72                 })
73                 .map(|(j, _)| (j / img_width, j % img_width))
74                 .collect::// Нахождение пар-кандидатов, в которых вторая деталь слева или сверху
82 let get_opposite_candidates = |ind: usize| {
83     // Минимальные значения несовместимости для каждой детали в заданном направлении
84     let min_scores = (0..pieces_compatibility[ind].len())
85         .into_par_iter()
86         .map(|i| {
87             pieces_compatibility[ind]
88                 .iter()
89                 .enumerate()
90                 .map(|(j, v)| (j, v[i]))

```

```

91         .filter(|(j, _)| i != *j)
92         .reduce(|x, y| if x.1 <= y.1 { x } else { y })
93         .map(|(_, x)| x)
94         .unwrap()
95     })
96     .collect::// Нахождение пар-кандидатов для каждой детали
98     (0..pieces_compatibility[ind].len())
99     .into_par_iter()
100     .zip(min_scores)
101     .map(|(i, min_score)| {
102         // Все детали, для которых соотношение несовместимости не больше порога
103         let mut tmp: Vec<_> = pieces_compatibility[ind]
104             .iter()
105             .enumerate()
106             .map(|(j, v)| (j, v[i]))
107             .filter(|(j, x)| i != *j && *x <= CANDIDATE_MATCH_RATIO * min_score)
108             .collect();
109         // Выбор лучших пар с количеством не больше заданного порога
110         tmp.sort_by_key(|x| FloatOrd(x.1));
111         tmp.into_iter()
112             .take(MAX_CANDIDATES)
113             .enumerate()
114             .filter_map(|(ind, x)| {
115                 if ind < MAX_CANDIDATES_EQUAL
116                     || x.1 > CANDIDATE_MATCH_RATIO_EQUAL * min_score
117                 {
118                     Some(x)
119                 } else {
120                     None
121                 }
122             })
123             .map(|(j, _)| (j / img_width, j % img_width))
124             .collect::// Выбор таких пар, в которых и первая деталь считает вторую своей парой, и наоборот
132 let get_buddies = |candidates: Vec<Vec<(usize, usize)>>,
133     opposite_candidates: Vec<Vec<(usize, usize)>>| {
134     candidates
135         .into_iter()
136         .enumerate()
137         .map(|(i, v)| {
138             let x = (i / img_width, i % img_width);

```

```

139         v.into_iter()
140         .filter(|y| opposite_candidates[y.0 * img_width + y.1].contains(&x))
141         .collect::// Определение совместимостей маленьких циклов
152 fn small_loops_matches(size: usize, sl: &[Matrix]) -> [Vec<Vec<usize>>; 2] {
153     // Два маленьких цикла размера i x i слева направо: должны пересекаться в области размера
154     ↪ i x (i - 1)
155     let right_matches = sl
156         .par_iter()
157         .map(|sl_left| {
158             sl.iter()
159             .enumerate()
160             .filter_map(|(sl_right_i, sl_right)| {
161                 for r in 0..size {
162                     for c in 0..(size - 1) {
163                         if sl_left[r][c + 1] != sl_right[r][c] {
164                             return None;
165                         }
166                     }
167                 }
168                 for v_left in sl_left {
169                     for v_right in sl_right {
170                         if v_left[0] == v_right[size - 1] {
171                             return None;
172                         }
173                     }
174                 }
175                 Some(sl_right_i)
176             })
177         })
178     .collect::// Два маленьких цикла размера i x i сверху вниз: должны пересекаться в области размера (i
181     ↪ - 1) x i
182     let down_matches = sl
183         .par_iter()
184         .map(|sl_up| {
185             sl.iter()

```

```

185         .enumerate()
186         .filter_map(|(sl_down_i, sl_down)| {
187             for r in 0..(size - 1) {
188                 for c in 0..size {
189                     if sl_up[r + 1][c] != sl_down[r][c] {
190                         return None;
191                     }
192                 }
193             }
194             for x_left in &sl_up[0] {
195                 for x_right in &sl_down[size - 1] {
196                     if x_left == x_right {
197                         return None;
198                     }
199                 }
200             }
201             Some(sl_down_i)
202         })
203         .collect::<Vec<_>>()
204     })
205     .collect::<Vec<_>>();
206
207     [right_matches, down_matches]
208 }
209
210 // Объединение четырёх маленьких циклов размера i x i в один размера (i + 1) x (i + 1)
211 fn merge_loops(
212     size: usize,
213     left_up: &Matrix,
214     right_up: &Matrix,
215     left_down: &Matrix,
216     right_down: &Matrix,
217 ) -> Matrix {
218     let mut new_loop = vec![vec![(usize::MAX, usize::MAX); size + 1]; size + 1];
219     for r in 0..size {
220         for c in 0..size {
221             new_loop[r][c] = left_up[r][c];
222         }
223     }
224     for r in 0..size {
225         new_loop[r][size] = right_up[r][size - 1];
226     }
227     for c in 0..size {
228         new_loop[size][c] = left_down[size - 1][c];
229     }
230     new_loop[size][size] = right_down[size - 1][size - 1];
231     new_loop
232 }

```



```

233
234 // Нахождение маленьких циклов
235 fn small_loops(
236     img_width: usize,
237     img_height: usize,
238     pieces_match_candidates: &[Vec<Vec<(usize, usize)>>; 2],
239 ) -> Vec<Vec<Matrix>> {
240     // Циклы порядка 1 (пары-кандидаты)
241     let sl_1_right = (0..img_height).flat_map(|left_r| {
242         (0..img_width)
243         .flat_map(|left_c| {
244             let left_i = left_r * img_width + left_c;
245             pieces_match_candidates[0][left_i]
246                 .iter()
247                 .map(|right| vec![vec![(left_r, left_c), *right]])
248                 .collect::<Vec<_>>())
249         })
250         .collect::<Vec<_>>()
251     });
252     let sl_1_down = (0..img_height).flat_map(|up_r| {
253         (0..img_width)
254         .flat_map(|up_c| {
255             let up_i = up_r * img_width + up_c;
256             pieces_match_candidates[1][up_i]
257                 .iter()
258                 .map(|down| vec![vec![(up_r, up_c)], vec![*down]])
259                 .collect::<Vec<_>>())
260         })
261         .collect::<Vec<_>>()
262     });
263     let sl_1 = sl_1_right.chain(sl_1_down).collect::<Vec<_>>();
264
265     // Циклы порядка 2 (из пар-кандидатов)
266     let sl_2 = (0..img_height)
267         .into_par_iter()
268         .flat_map(|left_up_r| {
269             (0..img_width)
270             .flat_map(|left_up_c| {
271                 let left_up_i = left_up_r * img_width + left_up_c;
272                 pieces_match_candidates[0][left_up_i]
273                     .iter()
274                     .flat_map(|right_up| {
275                         let right_up_i = right_up.0 * img_width + right_up.1;
276                         if right_up_i == left_up_i {
277                             return Vec::new();
278                         }
279
280                         pieces_match_candidates[1][left_up_i]

```

```

281         .iter()
282     .flat_map(|left_down| {
283         let left_down_i = left_down.0 * img_width + left_down.1;
284         if left_down_i == left_up_i || left_down_i == right_up_i {
285             return Vec::new();
286         }
287
288         pieces_match_candidates[0][left_down_i]
289             .iter()
290             .flat_map(|right_down_0| {
291                 if *right_down_0 == (left_up_r, left_up_c)
292                     || right_down_0 == right_up
293                     || right_down_0 == left_down
294                 {
295                     return Vec::new();
296                 }
297                 pieces_match_candidates[1][right_up_i]
298                     .iter()
299                     .find_map(|right_down_1| {
300                         if right_down_0 == right_down_1 {
301                             Some(vec![
302                                 vec![(left_up_r, left_up_c), *right_up],
303                                 vec![*left_down, *right_down_0],
304                             ])
305                         } else {
306                             None
307                         }
308                     })
309                     .into_iter()
310                     .collect::<Vec<_>>()
311                 })
312                     .collect::<Vec<_>>()
313             })
314         .collect::<Vec<_>>()
315     })
316     .collect::<Vec<_>>()
317 })
318 .collect::<Vec<_>>()
319 })
320 .collect::<Vec<_>>();
321
322 // Построение циклов следующих порядков
323 let mut sl_all = vec![sl_1, sl_2];
324 loop {
325     let sl_last = sl_all.last().unwrap();
326     let sl_size = sl_all.len();
327     let matches = small_loops_matches(sl_size, sl_last);
328     let sl_next = (0..sl_last.len())

```

```

329     .into_par_iter()
330     .flat_map(|left_up_i| {
331         matches[0][left_up_i]
332         .iter()
333         .flat_map(|right_up_i| {
334             matches[1][left_up_i]
335             .iter()
336             .flat_map(|left_down_i| {
337                 matches[0][*left_down_i]
338                 .iter()
339                 .flat_map(|right_down_0_i| {
340                     matches[1][*right_up_i]
341                     .iter()
342                     .filter_map(|right_down_1_i| {
343                         if right_down_0_i == right_down_1_i
344                         && sl_last[left_up_i][0][0]
345                             != sl_last[*right_down_0_i][sl_size - 1]
346                             [sl_size - 1]
347                         && sl_last[*right_up_i][0][sl_size - 1]
348                             != sl_last[*left_down_i][sl_size - 1][0]
349                         {
350                             let sl = merge_loops(
351                                 sl_size,
352                                 &sl_last[left_up_i],
353                                 &sl_last[*right_up_i],
354                                 &sl_last[*left_down_i],
355                                 &sl_last[*right_down_0_i],
356                             );
357                             Some(sl)
358                         } else {
359                             None
360                         }
361                     })
362                     .collect::

```

```

377 }
378
379 // Приоритет матрицы
380 fn matrix_priority(
381     img_width: usize,
382     pieces_compatibility: &[Vec<Vec<f32>>; 2],
383     m: &Matrix,
384 ) -> MatrixPriority {
385     let cnt = m.iter().flatten().filter(|x| x.0 != usize::MAX).count();
386
387     // Совместимости деталей по направлению вправо
388     let right_compatibility = (0..m.len())
389         .map(|i_r| {
390             (0..(m[i_r].len() - 1))
391                 .map(|i_c| {
392                     let (j_r, j_c) = m[i_r][i_c];
393                     let (k_r, k_c) = m[i_r][i_c + 1];
394                     if j_r == usize::MAX || k_r == usize::MAX {
395                         return 0.0;
396                     }
397                     pieces_compatibility[0][j_r * img_width + j_c][k_r * img_width + k_c]
398                 })
399                 .sum::<f32>()
400             })
401         .sum::<f32>();
402     // Совместимости деталей по направлению вниз
403     let down_compatibility = (0..(m.len() - 1))
404         .map(|i_r| {
405             (0..m[i_r].len())
406                 .map(|i_c| {
407                     let (j_r, j_c) = m[i_r][i_c];
408                     let (k_r, k_c) = m[i_r + 1][i_c];
409                     if j_r == usize::MAX || k_r == usize::MAX {
410                         return 0.0;
411                     }
412                     pieces_compatibility[1][j_r * img_width + j_c][k_r * img_width + k_c]
413                 })
414                 .sum::<f32>()
415             })
416         .sum::<f32>();
417     (
418         -(cnt as isize),
419         FloatOrd((right_compatibility + down_compatibility) / (cnt as f32)),
420     )
421 }
422
423 // Проверка матриц на совместимость (возможность объединения)
424 fn can_merge_matrices(

```

```

425     img_width: usize,
426     img_height: usize,
427     pieces_compatibility: &[Vec<Vec<f32>>; 2],
428     m_x: &Matrix,
429     m_y: &Matrix,
430 ) -> MatrixCompatibility {
431     // Отсортированные детали второй матрицы
432     let mut tmp_y: Vec<_> = m_y
433         .iter()
434         .flatten()
435         .cloned()
436         .enumerate()
437         .filter_map(|(i, x)| {
438             if x.0 != usize::MAX {
439                 Some((x, i))
440             } else {
441                 None
442             }
443         })
444         .collect();
445     tmp_y.sort_unstable();
446     // Количество деталей, встречающихся в обеих матрицах
447     let mut cnt = 0;
448     // Сдвиг между общими деталями в первой и второй матрицах
449     let mut shared_shift = None;
450     // Проверка существования детали из первой матрицы во второй
451     for (x_ind, x) in m_x.iter().flatten().enumerate() {
452         if x.0 == usize::MAX {
453             continue;
454         }
455         if let Ok(y_ind_tmp) = tmp_y.binary_search_by_key(&x, |pr| &pr.0) {
456             cnt += 1;
457             // Вычисление общего сдвига
458             if shared_shift.is_none() {
459                 let y_ind = tmp_y[y_ind_tmp].1;
460                 let (x_r, x_c) = (x_ind / m_x[0].len(), x_ind % m_x[0].len());
461                 let (y_r, y_c) = (y_ind / m_y[0].len(), y_ind % m_y[0].len());
462                 shared_shift = Some((
463                     (y_r as isize) - (x_r as isize),
464                     (y_c as isize) - (x_c as isize),
465                 ));
466             }
467             // Для проверки достаточно двух общих деталей
468             if cnt == 2 {
469                 break;
470             }
471         }
472     }

```

```

473 // Если не больше одной общей детали, то матрицы не связаны друг с другом
474 // Исключение для матриц-пар
475 if cnt < 2
476     && !(cnt == 1
477         && ((m_x.len() == 1 || m_x[0].len() == 1) ^ (m_y.len() == 1 || m_y[0].len() == 1)))
478 {
479     return MatrixCompatibility::NotRelated;
480 }
481 let (shared_shift_r, shared_shift_c) = shared_shift.unwrap();
482
483 // Размеры матриц x и y
484 let (m_x_r, m_x_c) = (m_x.len(), m_x[0].len());
485 let (m_y_r, m_y_c) = (m_y.len(), m_y[0].len());
486 // Переход из системы координат матрицы x к с. к. новой матрицы
487 let (d_r, d_c) = (
488     max(0, shared_shift_r) as usize,
489     max(0, shared_shift_c) as usize,
490 );
491 // Переход из системы координат матрицы y к с. к. новой матрицы
492 let (d_minus_shift_r, d_minus_shift_c) = (
493     ((d_r as isize) - shared_shift_r) as usize,
494     ((d_c as isize) - shared_shift_c) as usize,
495 );
496 // Размер новой матрицы
497 let (m_new_r, m_new_c) = (
498     max(m_x_r + d_r, m_y_r + d_minus_shift_r),
499     max(m_x_c + d_c, m_y_c + d_minus_shift_c),
500 );
501 // Матрица должна быть не больше изображения
502 if m_new_r > img_height || m_new_c > img_width {
503     return MatrixCompatibility::NotRelated;
504 }
505
506 // Новая матрица
507 let mut m_new = vec![vec![(usize::MAX, usize::MAX); m_new_c]; m_new_r];
508 // Копирование в неё матрицы x
509 for (r_x, v_x) in m_x.iter().enumerate() {
510     for (c_x, x) in v_x.iter().enumerate() {
511         let (r_new, c_new) = (r_x + d_r, c_x + d_c);
512         m_new[r_new][c_new] = *x;
513     }
514 }
515 // Копирование в неё матрицы y
516 for (r_y, v_y) in m_y.iter().enumerate() {
517     for (c_y, y) in v_y.iter().enumerate() {
518         let (r_new, c_new) = (r_y + d_minus_shift_r, c_y + d_minus_shift_c);
519         if m_new[r_new][c_new].0 != usize::MAX && m_new[r_new][c_new] != *y {
520             return MatrixCompatibility::Incompatible;

```

```

521     }
522     m_new[r_new][c_new] = *y;
523 }
524 }
525 // Если новая матрица совпадает с одной из объединяемых, то объединять не нужно
526 if m_new == *m_x || m_new == *m_y {
527     return MatrixCompatibility::Incompatible;
528 }
529
530 // Приоритет новой матрицы
531 let m_new_priority = matrix_priority(img_width, pieces_compatibility, &m_new);
532
533 // Отсортированные детали новой матрицы
534 let mut tmp_new: Vec<_> = m_new
535     .into_iter()
536     .flatten()
537     .filter(|x| x.0 != usize::MAX)
538     .collect();
539 tmp_new.sort_unstable();
540 let tmp_new_len = tmp_new.len();
541 tmp_new.dedup();
542 // Если в матрице повторялись детали, то объединение невозможно
543 if tmp_new.len() != tmp_new_len {
544     return MatrixCompatibility::Incompatible;
545 }
546 // Матрицы совместимы
547 MatrixCompatibility::Compatible(shared_shift_r, shared_shift_c, m_new_priority)
548 }
549
550 // Объединение матриц
551 fn merge_matrices(
552     m_x: &Matrix,
553     m_y: &Matrix,
554     shared_shift_r: isize,
555     shared_shift_c: isize,
556 ) -> Matrix {
557     // Размеры матриц x и y
558     let (m_x_r, m_x_c) = (m_x.len(), m_x[0].len());
559     let (m_y_r, m_y_c) = (m_y.len(), m_y[0].len());
560     // Переход из системы координат матрицы x к с. к. новой матрицы
561     let (d_r, d_c) = (
562         max(0, shared_shift_r) as usize,
563         max(0, shared_shift_c) as usize,
564     );
565     // Переход из системы координат матрицы y к с. к. новой матрицы
566     let (d_minus_shift_r, d_minus_shift_c) = (
567         ((d_r as isize) - shared_shift_r) as usize,
568         ((d_c as isize) - shared_shift_c) as usize,

```

```

569 );
570 // Размер новой матрицы
571 let (m_new_r, m_new_c) = (
572     max(m_x_r + d_r, m_y_r + d_minus_shift_r),
573     max(m_x_c + d_c, m_y_c + d_minus_shift_c),
574 );
575
576 // Новая матрица
577 let mut m_new = vec![vec![(usize::MAX, usize::MAX); m_new_c]; m_new_r];
578 // Копирование в неё матрицы x
579 for (r_x, v_x) in m_x.iter().enumerate() {
580     for (c_x, x) in v_x.iter().enumerate() {
581         let (r_new, c_new) = (r_x + d_r, c_x + d_c);
582         m_new[r_new][c_new] = *x;
583     }
584 }
585 // Копирование в неё матрицы y
586 for (r_y, v_y) in m_y.iter().enumerate() {
587     for (c_y, y) in v_y.iter().enumerate() {
588         let (r_new, c_new) = (r_y + d_minus_shift_r, c_y + d_minus_shift_c);
589         m_new[r_new][c_new] = *y;
590     }
591 }
592 m_new
593 }
594
595 // Объединение матриц
596 fn merge_matrices_groups(
597     img_width: usize,
598     img_height: usize,
599     pieces_compatibility: &[Vec<Vec<f32>>; 2],
600     sl_all: Vec<Vec<Matrix>>,
601 ) -> Vec<Matrix> {
602     type AvailablePairsType = BTreeMap<MatrixPriority, Vec<(MatrixCompatibility, usize,
603 ↪     usize)>>;
604
605     // Пары совместимых или несовместимых матриц в текущем множестве
606     // Сопоставление приоритету матрицы (результата объединения матриц или одной матрицы,
607 ↪     выбранной из двух)
608     // кортежей из совместимостей матриц и их индексов
609     let mut available_pairs: AvailablePairsType = BTreeMap::new();
610     // Матрицы, удалённые из множества
611     let mut used = Vec::new();
612     // Множество-результат объединения пар матриц
613     let mut matrices_last = Vec::new();
614     // Обработка новой матрицы
615     let add_new_matrix = |available_pairs: &mut AvailablePairsType,
616 ↪     used: &mut Vec<bool>,

```



```

615         matrices_last: &mut Vec<(Matrix, MatrixPriority)>,
616         m_x: Matrix,
617         check: bool | {
618     let m_x_i = matrices_last.len();
619     let m_x_priority = matrix_priority(img_width, pieces_compatibility, &m_x);
620     if check {
621         // Обработка пар из текущей матрицы и всех остальных в множестве
622         let tmp: Vec<_> = matrices_last
623             .par_iter()
624             .enumerate()
625             .filter_map(|(m_y_i, (m_y, m_y_priority))| {
626                 // Матрица уже удалена
627                 if used[m_y_i] {
628                     return None;
629                 }
630                 let order = m_x_priority < *m_y_priority;
631                 // Определение совместимости матриц
632                 let can_merge = if order {
633                     can_merge_matrices(img_width, img_height, pieces_compatibility, &m_x, m_y)
634                 } else {
635                     can_merge_matrices(img_width, img_height, pieces_compatibility, m_y, &m_x)
636                 };
637
638                 // Приоритет матрицы-результата
639                 let pairs_key = match can_merge {
640                     // Если матрицы совместимы, то приоритет матрицы-объединения
641                     MatrixCompatibility::Compatible(_, _, m_new_priority) => m_new_priority,
642                     MatrixCompatibility::Incompatible => {
643                         // Если матрицы не совместимы, выбирается более приоритетная
644                         if order {
645                             m_x_priority
646                         } else {
647                             *m_y_priority
648                         }
649                     }
650                     // Если матрицы не связаны, то пара не добавляется
651                     MatrixCompatibility::NotRelated => return None,
652                 };
653
654                 if order {
655                     Some((pairs_key, (can_merge, m_x_i, m_y_i)))
656                 } else {
657                     Some((pairs_key, (can_merge, m_y_i, m_x_i)))
658                 }
659             })
660             .collect();
661         // Добавление всех пар
662         for (pairs_key, x) in tmp {

```

```

663         let v = match available_pairs.get_mut(&pairs_key) {
664             Some(v) => v,
665             None => {
666                 available_pairs.insert(pairs_key, Vec::new());
667                 available_pairs.get_mut(&pairs_key).unwrap()
668             }
669         };
670         v.push(x);
671     }
672 }
673 // Добавление матрицы в множество
674 used.push(false);
675 matrices_last.push((m_x, m_x_priority));
676 };
677
678 // Обработка всех маленьких циклов по убыванию порядка
679 for sl_curr in sl_all.into_iter().rev() {
680     for sl in sl_curr.into_iter() {
681         add_new_matrix(
682             &mut available_pairs,
683             &mut used,
684             &mut matrices_last,
685             sl,
686             true,
687         );
688     }
689
690     // Пока возможно, выбирается пара совместимых или не совместимых матриц и заменяется
↪ одной
691     while !available_pairs.is_empty() {
692         let (pairs_key, pairs_v) = available_pairs.iter_mut().next().unwrap();
693         if pairs_v.is_empty() {
694             let pairs_key = *pairs_key;
695             available_pairs.remove(&pairs_key);
696             continue;
697         }
698         let (m_comp, x_i, y_i) = pairs_v.pop().unwrap();
699         if used[x_i] || used[y_i] {
700             continue;
701         }
702
703         match m_comp {
704             // Если матрицы совместимы, то оригинальные матрицы удаляются и добавляется их
↪ объединение
705             MatrixCompatibility::Compatible(shared_shift_r, shared_shift_c, _) => {
706                 let m_new = merge_matrices(
707                     &matrices_last[x_i].0,
708                     &matrices_last[y_i].0,

```

```

709         shared_shift_r,
710         shared_shift_c,
711     );
712
713     used[x_i] = true;
714     used[y_i] = true;
715     add_new_matrix(
716         &mut available_pairs,
717         &mut used,
718         &mut matrices_last,
719         m_new,
720         true,
721     );
722 }
723 // Если матрицы не совместимы, то удаляется менее приоритетная
724 MatrixCompatibility::Incompatible => {
725     used[y_i] = true;
726 }
727 _ => unreachable!(),
728 }
729 }
730
731 // Удаление всех матриц, помеченных к удалению
732 let matrices_next: Vec<_> = matrices_last
733     .iter()
734     .enumerate()
735     .filter_map(|(i, m)| if used[i] { None } else { Some(m.0.clone()) })
736     .collect();
737 available_pairs.clear();
738 used.clear();
739 matrices_last.clear();
740 for m in matrices_next {
741     add_new_matrix(
742         &mut available_pairs,
743         &mut used,
744         &mut matrices_last,
745         m,
746         false,
747     );
748 }
749 }
750
751 // Результирующее множество матриц, отсортированных по приоритету
752 matrices_last.sort_by_key(|m| m.1);
753 matrices_last.into_iter().map(|m| m.0).collect()
754 }
755
756 // Отрезание почти пустых краёв

```

```

757 fn trim(solution_r: usize, solution_c: usize, solution: Solution) -> (usize, usize,
↳ Solution) {
758     // Границы изображения
759     let (mut min_r, mut max_r, mut min_c, mut max_c) = (0, solution_r - 1, 0, solution_c - 1);
760     loop {
761         // Количество непустых деталей в верхней строке
762         let up_count = (min_c..=max_c)
763             .map(|c| solution[min_r * solution_c + c])
764             .filter(|x| x.0 != usize::MAX)
765             .count() as f32;
766         // Если слишком мало, то строка вырезается
767         if up_count / ((max_c - min_c + 1) as f32) <= TRIM_RATE {
768             min_r += 1;
769             continue;
770         }
771
772         // Количество непустых деталей в нижней строке
773         let down_count = (min_c..=max_c)
774             .map(|c| solution[max_r * solution_c + c])
775             .filter(|x| x.0 != usize::MAX)
776             .count() as f32;
777         // Если слишком мало, то строка вырезается
778         if down_count / ((max_c - min_c + 1) as f32) <= TRIM_RATE {
779             max_r -= 1;
780             continue;
781         }
782
783         // Количество непустых деталей в левом столбце
784         let left_count = (min_r..=max_r)
785             .map(|r| solution[r * solution_c + min_c])
786             .filter(|x| x.0 != usize::MAX)
787             .count() as f32;
788         // Если слишком мало, то столбец вырезается
789         if left_count / ((max_r - min_r + 1) as f32) <= TRIM_RATE {
790             min_c += 1;
791             continue;
792         }
793
794         // Количество непустых деталей в правом столбце
795         let right_count = (min_r..=max_r)
796             .map(|r| solution[r * solution_c + max_c])
797             .filter(|x| x.0 != usize::MAX)
798             .count() as f32;
799         // Если слишком мало, то столбец вырезается
800         if right_count / ((max_r - min_r + 1) as f32) <= TRIM_RATE {
801             max_c -= 1;
802             continue;
803         }

```

```

804
805     break;
806 }
807
808 // Вырезание результата
809 (
810     max_r - min_r + 1,
811     max_c - min_c + 1,
812     (min_r..max_r)
813     .flat_map(|r| {
814         (min_c..max_c)
815         .map(|c| solution[r * solution_c + c])
816         .collect::<Vec<_>>()
817     })
818     .collect(),
819 )
820 }
821
822 // Жадное заполнение пустых позиций
823 fn fill_greedy(
824     img_width: usize,
825     img_height: usize,
826     pieces_compatibility: &[Vec<Vec<f32>>; 2],
827     old_solution_r: usize,
828     old_solution_c: usize,
829     old_solution: Solution,
830 ) -> Solution {
831     let (missing_r, missing_c) = (img_height - old_solution_r, img_width - old_solution_c);
832     // Так как дополнение изображения может идти в любую сторону,
833     // высота и ширина больше необходимой на количество отсутствующих строк и столбцов
834     let (solution_r, solution_c) = (
835         old_solution_r + 2 * missing_r,
836         old_solution_c + 2 * missing_c,
837     );
838     let mut solution = vec![<usize::MAX, usize::MAX>; solution_r * solution_c];
839     // Копирование старого решения в новое
840     for r in 0..old_solution_r {
841         for c in 0..old_solution_c {
842             solution[(r + missing_r) * solution_c + c + missing_c] =
843                 old_solution[r * old_solution_c + c];
844         }
845     }
846     // Текущие грани построенного изображения
847     let (mut min_r, mut max_r, mut min_c, mut max_c) =
848         (missing_r, img_height - 1, missing_c, img_width - 1);
849
850     // Неиспользованные детали
851     let mut free_pieces: IndexSet<_, FxBuildHasher> = (0..img_height)

```

```

852     .flat_map(|r| (0..img_width).map(move |c| (r, c)))
853     .collect();
854 for piece in solution.iter() {
855     free_pieces.remove(piece);
856 }
857
858 // Свободные позиции (по количеству свободных соседей)
859 let mut free_positions: [IndexSet<(usize, usize), FxBuildHasher>; 5] = [
860     IndexSet::with_hasher(FxBuildHasher::default()),
861     IndexSet::with_hasher(FxBuildHasher::default()),
862     IndexSet::with_hasher(FxBuildHasher::default()),
863     IndexSet::with_hasher(FxBuildHasher::default()),
864     IndexSet::with_hasher(FxBuildHasher::default()),
865 ];
866 // Добавление позиции в множество свободных
867 let add_to_free_positions = |solution: &mut Solution,
868     free_positions: &mut [IndexSet<(usize, usize), FxBuildHasher>;
869     5],
870     min_r: usize,
871     max_r: usize,
872     min_c: usize,
873     max_c: usize,
874     r: usize,
875     c: usize| {
876     if solution[r * solution_c + c].0 != usize::MAX {
877         return;
878     }
879     // Вычисление количества свободных соседей
880     let mut cnt = 0;
881     for dr in [-1isize, 1] {
882         for dc in [-1isize, 1] {
883             let (new_r, new_c) = ((r as isize) + dr, (c as isize) + dc);
884             if new_r < 0 || new_c < 0 {
885                 continue;
886             }
887             let (new_r, new_c) = (new_r as usize, new_c as usize);
888             if 1 + max(max_r, new_r) - min(min_r, new_r) > img_height
889                 || 1 + max(max_c, new_c) - min(min_c, new_c) > img_width
890             {
891                 continue;
892             }
893             if solution[new_r * solution_c + new_c].0 == usize::MAX {
894                 cnt += 1;
895             }
896         }
897     }
898     free_positions[cnt].insert((r, c));
899 };

```

```

900 // Добавление всех свободных позиций
901 for r in 0..solution_r {
902     for c in 0..solution_c {
903         add_to_free_positions(
904             &mut solution,
905             &mut free_positions,
906             min_r,
907             max_r,
908             min_c,
909             max_c,
910             r,
911             c,
912         );
913     }
914 }
915
916 // Пока есть неиспользованные детали, найти для каждой позицию
917 while !free_pieces.is_empty() {
918     // Выбирается позиция с наименьшим количеством свободных соседей
919     for cnt in 0..=4 {
920         if free_positions[cnt].is_empty() {
921             continue;
922         }
923         let pos = free_positions[cnt].iter().find(|&&(r, c)| {
924             1 + max(max_r, r) - min(min_r, r) <= img_height
925             && 1 + max(max_c, c) - min(min_c, c) <= img_width
926         });
927         if pos.is_none() {
928             continue;
929         }
930         let (pos_r, pos_c) = *pos.unwrap();
931
932         // Деталь слева
933         let (left_piece_r, left_piece_c) = if pos_c == 0 {
934             (usize::MAX, usize::MAX)
935         } else {
936             solution[pos_r * solution_c + pos_c - 1]
937         };
938         // Деталь справа
939         let (right_piece_r, right_piece_c) = if pos_c == solution_c - 1 {
940             (usize::MAX, usize::MAX)
941         } else {
942             solution[pos_r * solution_c + pos_c + 1]
943         };
944         // Деталь сверху
945         let (up_piece_r, up_piece_c) = if pos_r == 0 {
946             (usize::MAX, usize::MAX)
947         } else {

```

```

948     solution[(pos_r - 1) * solution_c + pos_c]
949 };
950 // Деталь снизу
951 let (down_piece_r, down_piece_c) = if pos_r == solution_r - 1 {
952     (usize::MAX, usize::MAX)
953 } else {
954     solution[(pos_r + 1) * solution_c + pos_c]
955 };
956
957 // Наименьшая несовместимость
958 let mut best_compatibility = f32::INFINITY;
959 // Наиболее подходящая деталь
960 let mut best_piece = (usize::MAX, usize::MAX);
961 // Обработка всех свободных деталей
962 for (piece_r, piece_c) in &free_pieces {
963     // Несовместимость
964     let mut res = 0.0f32;
965     // Обработка детали слева
966     if left_piece_r != usize::MAX {
967         res += pieces_compatibility[0][left_piece_r * img_width + left_piece_c]
968             [piece_r * img_width + piece_c];
969         if res >= best_compatibility {
970             continue;
971         }
972     }
973     // Обработка детали справа
974     if right_piece_r != usize::MAX {
975         res += pieces_compatibility[0][piece_r * img_width + piece_c]
976             [right_piece_r * img_width + right_piece_c];
977         if res >= best_compatibility {
978             continue;
979         }
980     }
981     // Обработка детали сверху
982     if up_piece_r != usize::MAX {
983         res += pieces_compatibility[1][up_piece_r * img_width + up_piece_c]
984             [piece_r * img_width + piece_c];
985         if res >= best_compatibility {
986             continue;
987         }
988     }
989     // Обработка детали снизу
990     if down_piece_r != usize::MAX {
991         res += pieces_compatibility[1][piece_r * img_width + piece_c]
992             [down_piece_r * img_width + down_piece_c];
993         if res >= best_compatibility {
994             continue;
995         }

```



```

996     }
997
998     // Обновление наименее несовместимой детали
999     best_piece = (*piece_r, *piece_c);
1000     best_compatibility = res;
1001 }
1002
1003 // Назначение детали, удаление позиции из свободных
1004 free_pieces.remove(&best_piece);
1005 free_positions[cnt].remove(&(pos_r, pos_c));
1006 solution[pos_r * solution_c + pos_c] = best_piece;
1007
1008 // Обновление верхней границы
1009 if pos_r < min_r {
1010     min_r = pos_r;
1011 }
1012 // Обновление нижней границы
1013 else if pos_r > max_r {
1014     max_r = pos_r;
1015 }
1016 // Обновление левой границы
1017 if pos_c < min_c {
1018     min_c = pos_c;
1019 }
1020 // Обновление правой границы
1021 else if pos_c > max_c {
1022     max_c = pos_c;
1023 }
1024
1025 // Обновление свободной позиции слева
1026 if pos_c != 0 {
1027     for cnt_adj in 0..=4 {
1028         if free_positions[cnt_adj].remove(&(pos_r, pos_c - 1)) {
1029             add_to_free_positions(
1030                 &mut solution,
1031                 &mut free_positions,
1032                 min_r,
1033                 max_r,
1034                 min_c,
1035                 max_c,
1036                 pos_r,
1037                 pos_c - 1,
1038             );
1039             break;
1040         }
1041     }
1042 }
1043 // Обновление свободной позиции справа

```

```

1044     if pos_c != solution_c - 1 {
1045         for cnt_adj in 0..=4 {
1046             if free_positions[cnt_adj].remove(&(pos_r, pos_c + 1)) {
1047                 add_to_free_positions(
1048                     &mut solution,
1049                     &mut free_positions,
1050                     min_r,
1051                     max_r,
1052                     min_c,
1053                     max_c,
1054                     pos_r,
1055                     pos_c + 1,
1056                 );
1057                 break;
1058             }
1059         }
1060     }
1061     // Обновление свободной позиции сверху
1062     if pos_r != 0 {
1063         for cnt_adj in 0..=4 {
1064             if free_positions[cnt_adj].remove(&(pos_r - 1, pos_c)) {
1065                 add_to_free_positions(
1066                     &mut solution,
1067                     &mut free_positions,
1068                     min_r,
1069                     max_r,
1070                     min_c,
1071                     max_c,
1072                     pos_r - 1,
1073                     pos_c,
1074                 );
1075                 break;
1076             }
1077         }
1078     }
1079     // Обновление свободной позиции снизу
1080     if pos_r != solution_r - 1 {
1081         for cnt_adj in 0..=4 {
1082             if free_positions[cnt_adj].remove(&(pos_r + 1, pos_c)) {
1083                 add_to_free_positions(
1084                     &mut solution,
1085                     &mut free_positions,
1086                     min_r,
1087                     max_r,
1088                     min_c,
1089                     max_c,
1090                     pos_r + 1,
1091                     pos_c,

```

```

1092         );
1093         break;
1094     }
1095 }
1096 }
1097
1098     break;
1099 }
1100 }
1101
1102     assert!(free_pieces.is_empty());
1103     assert_eq!(1 + max_r - min_r, img_height);
1104     assert_eq!(1 + max_c - min_c, img_width);
1105     // Вырезание результата
1106     (min_r..=max_r)
1107         .flat_map(|r| {
1108             (min_c..=max_c)
1109                 .map(|c| solution[r * solution_c + c])
1110                 .collect::<Vec<_>>()
1111         })
1112         .collect()
1113 }
1114
1115 // Шаг алгоритма (обработка одного изображения)
1116 pub fn algorithm_step(
1117     img_width: usize,
1118     img_height: usize,
1119     pieces_compatibility: &[Vec<Vec<f32>>; 2],
1120     pieces_match_candidates: &[Vec<Vec<(usize, usize)>>; 2],
1121 ) -> Vec<Solution> {
1122     // Нахождение маленьких циклов
1123     let sl_all = small_loops(img_width, img_height, pieces_match_candidates);
1124     // Объединение матриц
1125     let matrices_last = merge_matrices_groups(img_width, img_height, pieces_compatibility,
1126 ↪ sl_all);
1127     // Выбор лучшей матрицы в качестве решения
1128     let matrices_last_first = matrices_last.first().unwrap();
1129     let (solution_r, solution_c) = (matrices_last_first.len(), matrices_last_first[0].len());
1130     let mut solution = vec![0; (usize::MAX, usize::MAX)];
1131     for r in 0..matrices_last_first.len() {
1132         for c in 0..matrices_last_first[r].len() {
1133             if matrices_last_first[r][c].0 != usize::MAX {
1134                 solution[r * solution_c + c] = matrices_last_first[r][c];
1135             }
1136         }
1137     }
1138     // Отрезание почти пустых краёв и жадное заполнение пустых позиций
1139     let (solution_r, solution_c, solution) = trim(solution_r, solution_c, solution);

```

```
1139   let new_solution = fill_greedy(  
1140       img_width,  
1141       img_height,  
1142       pieces_compatibility,  
1143       solution_r,  
1144       solution_c,  
1145       solution,  
1146   );  
1147   vec![new_solution]  
1148 }
```